

Хмельницький національний університет
Факультет інженерії, транспорту та архітектури
Кафедра трибології, автомобілів та матеріалознавства

ПОЯСНЮВАЛЬНА ЗАПИСКА

до дипломної роботи бакалавра

Галузь знань – 27 – Транспорт


Спеціальність – 274 Автомобільний транспорт


Рівень вищої освіти – Перший бакалаврський

Освітньо-професійна програма – Автомобільний транспорт

на тему: *«Покращення працездатності кермової рейки автомобіля методом
фрикційного плакування»*

Шифр: ДРАТТАМ 24. 21195.000. ПЗ

Виконав студент 4 курсу, група АТзс-21-2  Василь ВАСІЛЬСВ

Керівник роботи к.т.н., доц.  Олег МАКОВКІН

До захисту допускаю:

Зав. кафедри ТАМ  Олександр ДИХА

6 06 2024 р.

Хмельницький, 2024 р.

ХМЕЛЬНИЦЬКИЙ НАЦІОНАЛЬНИЙ УНІВЕРСИТЕТ

Факультет інженерії, транспорту та архітектури

Кафедра трибології, автомобілів та матеріалознавства

Галузь знань 27 – Транспорт

Спеціальність – 274 Автомобільний транспорт

Рівень вищої освіти – Перший бакалаврський

Освітньо-професійна програма – Автомобільний транспорт

ЗАТВЕРДЖУЮ

Завідувач кафедри ТАМ

проф., д.т.н. Духа О.В.

2024 року

20 02

ЗАВДАННЯ
НА ДИПЛОМНУ РОБОТУ СТУДЕНТУ

Васильєву Василю Васильовичу

Прізвище, ім'я, по батькові

1. Тема проекту (роботи)

«Покращення працездатності кермової рейки автомобіля методом фрикційного плакування»

керівник проекту (роботи) Маковкін Олег Миколайович к.т.н., доцент

Прізвище, ім'я, по батькові, науковий ступінь, вчене звання

Затверджено наказом університету від 15 лютого 2024р. № 8 додаток 29

2. Строк подання студентом проекту на кафедру 10 червня 2024 року

3. Вихідні дані до проекту (роботи) Матеріали практики; робочі креслення досліджуваних деталей; нормативно – технологічна документація по розбиранню, дефектації, складанню і регулюванню вузлів паливної систми; вимоги з охорони праці і безпеки роботи при виконанні ремонтних робіт; техніко – економічні показники роботи підприємства.

4. Зміст пояснювальної записки (перелік питань, які потрібно розробити)

1. Аналіз стану питання; 2 Розробка конструкції гальмівного станда для дослідження працездатності вузлів паливної систми автомобіля; 3 Технологічний процес; 4 Розрахунок ефективності спроектованої конструкції

5. Перелік графічного матеріалу (із зазначенням обов'язкових креслень)

Графічна частина роботи представлена у вигляді презентації на слайдах

6. Консультанти розділів проекту (роботи)

Розділ	Прізвище, ініціали та посада консультанта	Підпис, дата	
		завдання видав	завдання прийняв

7. Дата видачі завдання 01.03.2024

КАЛЕНДАРНИЙ ПЛАН

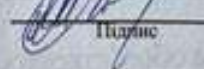
№ з/п	Назва етапів дипломного проекту (роботи)	Строк виконання етапів проекту (роботи)	Прим.
1	<i>Літературний огляд</i>	<i>15.05.2024</i>	
2	<i>Технологічний розділ</i>	<i>25.05.2024</i>	
3	<i>Конструкторський розділ</i>	<i>30.05.2024</i>	
4	<i>Оформлення розрахунково-пояснювальної записки</i>	<i>2.06.2024</i>	
5	<i>Оформлення презентації бакалаврської роботи</i>	<i>5.06.2024</i>	
6	<i>Нормоконтроль магістерської роботи</i>	<i>9.06.2024</i>	
7	<i>Підписання розділів. Затвердження дати захисту</i>	<i>10.06.2024</i>	

Студент


Підпис

Василь ВАСІЛЬСВ
Ініціали, прізвище

Керівник проекту (роботи)


Підпис

Олег МАКОВКІН
Ініціали, прізвище

РЕФЕРАТ

У рамках випускної кваліфікаційної роботи бакалавра запропонована розробка методики покращення ефективності кермового керування автомобіля за допомогою поверхневого пластичного деформування. Аналіз об'єкта дослідження включав дослідження пристрою кермового керування, вимог до системи кермового управління та аналіз причин несправностей кермових механізмів із підсилювачем керма.

Методика плакування гнучким інструментом була спроектована та досліджена для досягнення оптимальних результатів у покращенні міцності та довговічності великих деталей машин. Розрахунково-аналітичне дослідження процесу плакування рульової рейки дозволило оптимізувати параметри обробки гнучким інструментом.

Результати роботи презентовано у чотирьох розділах.

У першому розділі проведено аналіз об'єкта дослідження,
у другому - описано методику плакування гнучким інструментом,
у третьому - розрахунково-аналітичне дослідження процесу плакування рульової рейки,
у четвертому - оптимізацію процесу плакування рульової рейки.





Випускна кваліфікаційна робота складається з 75 сторінок, і містить у собі 28 ілюстрації, 4 таблиці, 50 джерел, 1 додаток.

Ключові слова: КЕРМОВЕ КЕРУВАННЯ, ПОВЕРХНЕВЕ ПЛАСТИЧНЕ ДЕФОРМУВАННЯ, ПЛАКУВАННЯ ГНУЧКИМ ІНСТРУМЕНТОМ, РУЛЬОВА РЕЙКА, ОПТИМІЗАЦІЯ ПРОЦЕСУ.

ЗМІСТ

	ВСТУП	5
1	АНАЛІЗ ОБ'ЄКТА ДОСЛІДЖЕННЯ	7
1.1	Пристрій кермового керування	7
1.2	Вимоги до системи кермового управління	12
1.3	Аналіз причин несправностей кермових механізмів із підсилювачем керма	15
2	ПЛАКУВАННЯ ГНУЧКИМ ІНСТРУМЕНТОМ	23
2.1	Методика плакування гнучким інструментом	23
2.2	Визначення методики розрахунку параметрів у зоні контакту	29
2.3	Аналіз джерел ефективності методики поверхневого пластичного деформування	33
2.4	Математичне моделювання параметрів зони контакту процесу ПДМ	40
3	РОЗРАХУНКОВО-АНАЛІТИЧНЕ ДОСЛІДЖЕННЯ ПРОЦЕСУ ПЛАКУВАННЯ РУЛЬОВОЇ РЕЙКИ	49
4	ПРИСВЯЧЕНО ОПТИМІЗАЦІЇ ПРОЦЕСУ ПЛАКУВАННЯ РУЛЬОВОЇ РЕЙКИ.	58
4.1	Методика вибору оптимальних режимів та параметрів обробки гнучким інструментом	58
4.2	Висновок	69
	СПИСОК ЛІТЕРАТУРИ	71
	ДОДАТКИ	75

ДРАТТАМ 24. 21195.000. ПЗ

Зм.	Арк.	№ докум.	Підпис	Дата	Літ.	Арк.	Аркушів
Розроб.		Васільєв					
Перевір.		Маковкін				4	75
Н. Контр.		Бабак			ХНУ АТЗс-21-2		
Затверд.		Лиха					

Покращення працездатності кермової рейки автомобіля методом фрикційного плакування

ВСТУП

З моменту появи перших транспортних засобів і до сьогодні, система кермового управління залишається однією з найважливіших частин автомобіля. Її працездатність є критичною не тільки для безпеки життя та здоров'я водія і пасажирів, але й для всіх учасників дорожнього руху.

Одним з основних факторів, що впливає на надійність і працездатність системи кермового управління, є тертя. Зношування вузлів системи є головною причиною виходу її з робочого стану. Втрата точності взаємного розташування деталей, негерметичність вузлів, непередбачені відносні переміщення та дефекти, які виникають внаслідок зношування, можуть призвести до небезпечних ситуацій на дорозі.

Тому є необхідність у проведенні науково-технічних робіт, спрямованих на підвищення рівня технічного обслуговування автомобілів, що допоможе запобігти можливим несправностям у процесі експлуатації, які можуть призвести до непрацездатності рульового управління. Також важливо аналізувати та впроваджувати сучасні методи і способи зміцнення вузлів кермового механізму, відповідно до вимог безпеки.

Для досягнення цих цілей необхідно вирішити завдання підвищення ефективності методів обробки та зміцнення елементів кермової системи. Це, у свою чергу, сприятиме збільшенню терміну експлуатації автомобільного транспорту.

Дипломна робота присвячена розв'язанню питань, пов'язаних з розробкою методики фрикційного плакування зносостійких покриттів на рульовій рейці з метою підвищення її експлуатаційної довговічності.

Метою роботи є створення методики фрикційного плакування бічних поверхонь зубів рульової рейки за допомогою гнучкого інструменту.

Для досягнення мети в роботі поставлено і вирішено такі завдання:

									Арк.
									5
Змн.	Арк.	№ докум.	Підпис	Дата	ДРАТТАМ 24. 21195.000. ПЗ				

1. Проаналізовано механізм кермового управління та його вимоги до безпеки.

2. Визначено основні місця зношування кермової рейки.

3. Розглянуто основні способи зміцнення цієї деталі та зроблено висновок, що зубчастий сектор рейки є найбільш придатним для застосування методу фрикційного плакування.

Аналіз умов роботи деталей рульового механізму показав, що значний відсоток зношування спостерігається на бічних поверхнях зубців рульової рейки. Це зношування призводить до зниження ефективності та надійності кермового управління, що, в свою чергу, може створити небезпеку для учасників дорожнього руху.

Для розв'язання цієї проблеми обґрунтовано застосування методу фрикційного нанесення покриттів з одночасною обробкою пластичним деформуванням за допомогою гнучкого інструменту. Цей метод дозволяє значно підвищити зносостійкість бічних поверхонь зубців рульової рейки, зменшуючи тим самим ризики, пов'язані зі зношуванням деталей кермового механізму.

Проведено літературний огляд теорії та практики застосування фрикційного плакування з використанням гнучкого інструменту, а також його розрахунково-аналітичне обґрунтування. Літературний огляд підтвердив доцільність використання цього методу, показавши його високу ефективність у підвищенні зносостійкості деталей.

Методика фрикційного плакування була оптимізована шляхом розробки спеціальних пристосувань, які замінюють стандартні покупні пристрої та обладнання. Це дозволило підвищити точність і ефективність процесу плакування, а також знизити витрати на його реалізацію.

Також було розроблено технологічний маршрут плакування рульової рейки. Для конкретизації та наочності, дослідження проводилося на прикладі кермової рейки автомобіля lada granta. Це дозволило наочно продемонструвати ефективність розробленої методики та її застосовність до реальних умов експлуатації.

					<i>ДРАТТАМ 24. 21195.000. ПЗ</i>	Арк.
Змн.	Арк.	№ докум.	Підпис	Дата		6

РОЗДІЛ 1 АНАЛІЗ ОБ'ЄКТА ДОСЛІДЖЕННЯ

1.1 Пристрій кермового керування

Для вирішення поставлених завдань необхідно, перш за все, проаналізувати систему вузлів та механізмів кермового управління, і зокрема, розглянути кермо як один з найважливіших елементів даної системи. У легкових автомобілях використовується рейковий кермовий механізм, який може бути обладнаний підсилювачем управління електромеханічного, гідравлічного або комбінованого типу.

Останнім часом системи кермового управління з електропідсилювачем складають серйозну конкуренцію системам з гідравлічним підсилювачем. Незважаючи на це, гідравлічні системи поки що залишаються домінуючими на автомобільному ринку завдяки їх більшій допоміжній силі при повороті керма, вищій надійності та нижчій вартості.

Система кермового управління дозволяє водієві, повертаючи кермо, передавати зусилля на кермовий механізм, який перетворює це зусилля для здійснення повороту коліс автомобіля. Це забезпечує водію можливість контролювати напрямок руху транспортного засобу. Якщо навантаження на передню вісь збільшується, то необхідне зусилля для передачі моменту на рульове колесо також зростає.

Існують системи кермового управління як з гідравлічним підсилювачем, так і з електропідсилювачем, які широко використовуються в сучасних транспортних засобах. Вони покращують керованість автомобілем та знижують необхідне вхідне зусилля на кермовому колесі, що, у свою чергу, запобігає підвищеній стомлюваності водія. Система кермового управління представлена на малюнку 1.

Доповнення та розширення цього розділу може включати більш детальний опис кожного компонента системи кермового управління, його

									Арк.
									7
Змн.	Арк.	№ докум.	Підпис	Дата	ДРАТТАМ 24. 21195.000. ПЗ				

При обертанні рульового колеса водієм торсіонний вал скручується, і цей процес фіксується датчиком моменту, що крутить. На основі інформації, переданої датчиками моменту, швидкості та обороту колінчастого валу, електронний блок розраховує необхідне зусилля для компенсації та передає сигнал на електричний двигун. Алгоритм роботи та рівень допоміжної сили залежать від кута повороту та швидкості автомобіля.

Хоча електронна архітектура електропідсилювача важлива, у даному контексті варто зосередитися на механічній передачі, оскільки вона відіграє ключову роль у поставленій меті. Будь-яка несправність електроніки такого підсилювача зазвичай веде до заміни всієї рульової рейки.

Механічна рульова рейка має як переваги, так і недоліки. З одного боку, її конструкція є максимально простою. З іншого боку, рульова рейка може зношуватися до критичного стану без видимих ознак несправностей.

Компоненти типового кермового управління з гідравлічним підсилювачем поділяються на механічні та гідравлічні. Механічні компоненти включають кермо, рульову колонку, кермовий механізм, рейкову передачу та рульові тяги до передніх коліс. До гідравлічних компонентів належать насос рульового управління, бачок, шланги високого та низького тиску, поворотний золотниковий клапан (розподільник), штуцер, що підводить, і силовий циліндр.

Функція кермового механізму полягає у передачі обертального руху керма на поступальний рух елементів кермового приводу. Рейковий механізм є одним з найпопулярніших типів кермових механізмів і може бути встановлений на широкий спектр транспортних засобів. Це дослідження зосереджено на гідравлічній системі рульового управління, оснащеної рейковою передачею.

									Арк.
									9
Змн.	Арк.	№ докум.	Підпис	Дата	ДРАТТАМ 24. 21195.000. ПЗ				

Торсіон завжди передаватиме обертання від рульового валу до шестерні, що забезпечує збереження керованості автомобіля. Однак, у такій ситуації зусилля, необхідне для керування кермом, значно зросте. У разі поломки механічної рейкової передачі типу «черв'як – зубчаста рейка», зуби якої перебувають у постійному контакті, може виникнути серйозна аварійна ситуація.

Об'єктом цього дослідження є рульова рейка з гідروпідсилювачем керма, яка є найпоширенішою системою в Росії. Подальші проектні та технічні завдання будуть зосереджені на аналізі системи з гідропідсилювачем керма на прикладі кермового механізму lada granta.

На малюнку 3 представлено ескіз рульової рейки, що демонструє її конструкцію та основні компоненти.



Рисунок 3 – Загальний вигляд кермової рейки

Матеріал кермової рейки: Фізико-механічні властивості та хімічний склад. Матеріал деталі визначає її фізико-механічні властивості, такі як витривалість, втомна міцність, зносостійкість та інші характеристики, які є критично важливими для виконання службового призначення. Для виготовлення кермової рейки використовується сталь марки 50, яка є конструкційною, вуглецевою, якісною сталлю. Її фізико-механічні властивості представлені в таблиці 1.

Хімічний склад сталі 50 включає:

- Марганець (Mn): 0,50% - 0,80%
- Вуглець (C): 0,47% - 0,55%
- Кремній (Si): 0,17% - 0,37%
- Інші елементи: трохи більше 0,25%

									Арк.
									11
Змн.	Арк.	№ докум.	Підпис	Дата	ДРАТТАМ 24. 21195.000. ПЗ				

Цей документ визначає перелік вимог до транспортних засобів, що експлуатуються, незалежно від того, де вони були вироблені або ввезені. Нижче наведено основні пункти цього технічного регламенту.

Відповідно до пункту 2.3, «сумарний люфт у рульовому управлінні не повинен перевищувати граничних значень, встановлених виробником транспортного засобу, а за відсутності зазначених даних – таких граничних значень: транспортні засоби категорії M1 та створені на базі їх агрегатів транспортні засоби категорій M2, N1 та N2, а також транспортні засоби категорій L6 та L7 з автомобільним компонуванням - 10°»

Відповідно до пункту 2.1, «зміна зусилля при повороті кермового колеса має бути плавною у всьому діапазоні кута його повороту. Непрацездатність підсилювача рульового керування транспортного засобу (за його наявності на транспортному засобі) не допускається».

Вимоги до системи кермового управління

Ці вимоги спрямовані на забезпечення високої надійності та безпеки системи кермового управління, що є критично важливим для запобігання аварійним ситуаціям на дорозі. Відповідно до пункту 5.1.2, «має бути забезпечена можливість руху прямою ділянкою дороги без незвичайної корекції кермового управління водієм і без незвичайної вібрації в системі кермового управління при максимальній розрахунковій швидкості транспортного засобу».

Відповідно до пункту 2.5, «застосування у кермовому механізмі та кермовому приводі деталей зі слідами залишкової деформації, з тріщинами та іншими дефектами не допускається» .

Відповідно до пункту 2.6, «підтікання робочої рідини в гідросистемі підсилювача рульового управління не допускається» .

Правила, пов'язані з органами управління рульовим механізмом

Якщо водій безпосередньо впливає на органи управління рульовим механізмом, вони і всі механічні частини рульового механізму повинні бути стійкими до поломок. Вони мають бути достатніх розмірів, легко

									Арк.
Змн.	Арк.	№ докум.	Підпис	Дата	ДРАТТАМ 24. 21195.000. ПЗ				13

Щоб забезпечити вищезгадані вимоги законодавства України, необхідно встановити причини можливого недотримання цих правил. Аналіз та оцінку конструкції рульового управління, так само як і будь-якого іншого механізму, слід проводити відповідно до тих вимог, які до неї пред'являються і з даного аналізу підібрати методи та способи вирішення встановлених проблем зносу механічної передачі.

1.3 Аналіз причин несправностей кермових механізмів із підсилювачем керма

Під час експлуатації автомобіля в кермовому механізмі з гідروпідсилювачем керма (ГУР) можуть виникати різноманітні проблеми, такі як заклинювання, зношування вузлів, витік оливи та вібрації, які призводять до несправності автомобіля. Основні ознаки несправності рульової рейки включають шум або інші сторонні звуки під час руху транспортного засобу, помітні люфти рульового колеса навіть при незначних кутах повороту, надмірний опір при повороті керма, а також протікання робочої рідини. Несвоєчасне усунення несправностей у кермовому механізмі або неправильні регулювання можуть прискорити зношування деталей.

Конструкція рейкового механізму перетворює обертальний рух черв'яка на зворотно-поступальний рух зубчастої рейки. Черв'як встановлений на валу рульового колеса і знаходиться в постійному зачепленні з рейкою, що підтримується упором. Рульова рейка функціонує в умовах змазування. Зазначені особливості конструкції рейки та рейкового механізму забезпечуються формою робочих поверхонь зубчастого сектора.

Розглянемо основні місця несправностей на прикладі рейки lada granta, представленої на малюнку 4.

									Арк.
									15
Змн.	Арк.	№ докум.	Підпис	Дата	ДРАТТАМ 24. 21195.000. ПЗ				

1 – кільце ущільнювальне; 2 – сепаратор у зборі; 3 – картер кермового механізму у зборі; 4 – ковпак захисний правий; 5 – чохол рейки; 6 – хомут; 7 – пластина чохла; 8 – пластина стопорна; 9 – болт тяг кермової трапеції; 10 - вкладиш упору; 11 - кільце ущільнювальне; 12 - кільце ущільнювальне; 13 - пружина упору; 14 - гайка упору; 15 – заглушка гайки; 16 - пильовик шестерні в зборі; 17 - кільце фіксують пильовика; 18 - пильовик шестерні; 19 – болт; 20 - шайба; 21 – кришка картера; 22 - сальник шестерні; 23 – шестерня у зборі; 24 - рейка кермового механізму; 25 – ковпак захисний лівий; 26 - опора тяг кермової трапеції; 27 - скоба упору тяг; 28 - упор рейки.

По-перше, варто зазначити, що знос гумових ущільнювачів у системі ГУР (гідропідсилювача керма) є поширеною проблемою. Це стосується, насамперед, сальників та ущільнювачів у рульовій рейці, а також з'єднань у інших частинах системи. Під впливом механічних навантажень і з часом, гумові елементи втрачають свої властивості, що призводить до розгерметизації системи та витoku робочої рідини. Внаслідок цього рівень рідини в системі знижується, що негативно впливає на її роботу.

По-друге, поломка клапанів розподільника може серйозно порушити роботу системи ГУР. Неправильне функціонування клапанів призводить до некоректного розподілу рідини, що ускладнює роботу підсилювача і може спричинити подальші несправності.

По-третє, поломка поршневої системи гідравлічного циліндра є ще однією критичною проблемою. Несправність поршневої системи призводить до того, що у системі не створюється необхідний тиск, що робить роботу підсилювача неможливою.

Крім того, однією з основних причин непрацездатності системи з ГУР є зношування елементів рейкового механізму. Розглянемо

									Арк.
									17
Змн.	Арк.	№ докум.	Підпис	Дата	ДРАТТАМ 24. 21195.000. ПЗ				

детальніше ці несправності, що виникають внаслідок зношування поверхонь деталей розподільника та рульової рейки.

Найбільше навантаження виникає у місці контакту черв'яка з рульовою рейкою. Під час експлуатації в цьому місці може частково або повністю зруйнуватися поверхня зубів через виникнення неприпустимих зазорів як у зубчастому зачепленні, так і між упором та рейкою. Нерівномірне зношування бічних поверхонь зубів зазвичай є причиною збільшеного зазору у зачепленні черв'яка з рейкою, що може виникнути і внаслідок зменшення антифрикційного матеріалу на вкладиші упору рейки.

Регулювальний гвинт забезпечує притиск упору рульової рейки безпосередньо до самої рейки, що в процесі роботи може призвести до двостороннього зношування контактних поверхонь. Для усунення невідповідності крутного моменту і забезпечення правильного розташування регулювальних та фіксуючих деталей рульового механізму проводиться регулювання загального моменту прокручування провідного черв'яка та положення упору рейки з контролем затягування регулювальної гайки. Проте закручування гайки не вирішує проблеми зношування зубчастого сектора. Максимальне закручування гайки може тимчасово усунути постукування і прослизання фрикційної пари, але водночас посилить загальну ситуацію.

Проблему зношування упору рейки можна вирішити лише шляхом заміни вкладиша упору рейки після відпрацювання його ресурсу, оскільки відновлення вкладки неможливе. Якщо втулка також відпрацювала і має ознаки пошкодження, необхідно виправити цю несправність методом заміни втулки із спеціального ремкомплекту, оскільки відновлення втулки також не можливе. Відпрацювання виникає через корозію, що утворюється внаслідок зовнішніх факторів, таких як волога або солоність. Це може призвести до утворення абразиву у внутрішній порожнині сполучення, що в свою чергу призводить до його руйнування. Щодо зносу

									Арк.
									18
Змн.	Арк.	№ докум.	Підпис	Дата	ДРАТТАМ 24. 21195.000. ПЗ				

сальників, можливе тимчасове вирішення за допомогою підтискних пружин. Проте, оскільки сальник щільно притиснутий до валу, таке рішення може спричинити деформацію вузлів рейки та заДСТУрення ситуації. Таким чином, ущільнювачі, сальники та кільця з дефектами підлягають утилізації та заміні на нові.

Аналізуючи причини та способи усунення несправностей у вузлах рейкового механізму, виникає необхідність у вирішенні проблеми зношування зубчастої рейки в рульовому управлінні. Зношування цієї деталі рульового механізму, як правило, призводить до збільшення люфту у напрямних коліс і кермі, що суперечить зазначеним вище вимогам. Наступним кроком є розгляд основних заходів зміцнення та відновлення зубчастої рейки.

Один з основних методів відновлення зношених поверхонь кермової рейки - нанесення антифрикційного металопокриття. Розглянемо деякі варіанти цієї обробки, зокрема гальванічне хромування, газотермічне та плазмове напилення. Окремо розглянемо метод підвищення довговічності зубчастого сектора за допомогою фрикційного плакування, який є одним із небагатьох на ринку послуг з технічного обслуговування транспортних засобів і потребує подальшого дослідження.

Технологія покриття валу хромом [33] включає декілька етапів. Серед них: шліфування та полірування поверхні, яка буде покрита хромом; створення ізоляції для місць, що потребують хромування (зубчастий сектор); створення екранів для рельєфів та ДСТУрих граней; зачищення абразивним матеріалом; підвішування на рамки; обробка електролітами; промивання у рідині з високою температурою; анодне декапірування; хромування; промивання холодною рідиною; нейтралізація у розчині з лугом. Після цього виріб знімається з рамки, на яку він був закріплений раніше. Останнім етапом є механічна обробка виробу, що вже покритий хромом. Шліфування та полірування на

									Арк.
									19
Змн.	Арк.	№ докум.	Підпис	Дата	ДРАТТАМ 24. 21195.000. ПЗ				

Товщина покриття, нанесеного методами газотермічного або плазмового напилення на вал, обмежена 2 мм. Мінусами цих методів є висока вартість пристроїв для напилення, здатних нанести якісне щільне покриття. Необхідні капіталовкладення можуть ускладнити застосування цих методів для ремонтно-відновлювальних робіт на дрібних підприємствах.

Зношування зубів рульової рейки можна усунути методом вдавлювання. Варто зазначити, що такий дефект зазвичай знаходиться в середній частині рейки та поступово вирівнюється до країв. Вдавлювання є одночасно осадом і роздачею, під час яких рейку нагрівають у спеціальних пристроях. Вдавлювання здійснюється за допомогою роликів та клинів, що протидіють необхідній деформації профілю зубів. Далі отриману канавку доводять шляхом наплавлення. Недоліками цього методу є подвійна технологічна обробка, необхідність подальшого шліфування для збереження профілю, а також те, що покриття при напавленні має досить значну товщину. Також у напавленому металі може спостерігатися утворення газових пор та тріщин, що призводить до зниження межі витривалості поверхневого шару.

У літературних джерелах майже не зустрічаються інші рекомендації щодо відновлення кермової рейки. Це свідчить про актуальність розробки технології зміцнення робочих поверхонь рухомих з'єднань рульового механізму в зоні черв'ячної передачі для збільшення ресурсу механізму після завершення ремонтно-відновлювальних робіт.

Технічний результат полягає у збільшенні міжремонтного періоду інтегральних кермових механізмів з підсилювачем керма шляхом створення на поверхнях деталей пар тертя зносостійких покриттів із заданими службовими властивостями.

									Арк.
									21
Змн.	Арк.	№ докум.	Підпис	Дата	ДРАТТАМ 24. 21195.000. ПЗ				

Висновки.

Поверхні деталей рульового механізму в умовах експлуатації схильні до різних видів зносу, який залежить від умов експлуатації автомобіля.

Рульова рейка є однією з основних деталей, проблему зношування якої необхідно вирішити. З розглянутих методів підвищення зносостійкості рульової рейки відомий та запатентований лише один метод зміцнення зубів рульової рейки.

Для нанесення покриттів на зубчастий сектор рульової рейки було запропоновано метод фрикційного плакування гнучким інструментом. Для детальнішого вивчення необхідні подальші дослідження щодо специфіки та особливостей даного методу.

					<i>ДРАТТАМ 24. 21195.000. ПЗ</i>	Арк.
Змн.	Арк.	№ докум.	Підпис	Дата		22

ворсу щітки на оброблювану поверхню. При взаємодії щітки, що обертається, з деталлю відбувається руйнування і видалення окисних плівок і забруднень із зони контакту. Змінання мікронерівностей і пластичний перебіг металу призводять до безпосереднього контакту чистих поверхонь деталі та інструменту, в результаті чого відбувається схоплювання, що є мимовільним процесом, що протікає з виділенням енергії. Інтенсивне тепловиділення при терті гнучкого інструменту поверхню виробу сприяє полегшенню процесу схоплювання.

Надалі, через взаємний рух поверхонь, що з'єдналися, вузол схоплювання руйнується. Зріз відбувається, як правило, у товщі менш міцного металу, та його частинки залишаються на поверхні твердішого. З часом більш твердої поверхні утворюється покриття» [1], [13]. Описавши методику, можна виділити її переваги - вона є досить продуктивною, чистою з екологічної точки зору, а процес ПГІ не потребує додаткової обробки поверхні, як до, так і після проведення операції. Дослідження даної процедури нанесення покриття дозволило виділити у структурі шару поверхні три базові ділянки. Схематично вони показані на малюнку 5.

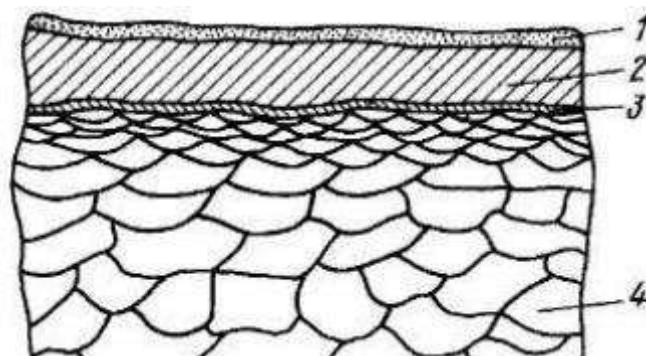


Рисунок 5 – Структура поверхні після ПГІ

1 – покриття; 2 – деформований шар; 3 – перехідний шар; 4 – основа металу оброблюваної деталі

Змн.	Арк.	№ докум.	Підпис	Дата

ДРАТТАМ 24. 21195.000. ПЗ

Арк.

24

Вивчення поверхневого шару, який утворився під час фрикційного плакування гнучким інструментом, показало, що початковою зоною є покриття, яке формується під час обробки. Друга зона – перехід між матеріалом покриття та основою матеріалу виробу. Третьою зоною стає шар, який зазнав деформації. Оскільки при ПГІ відбувається пластичне деформування поверхні оброблюваної деталі, її твердість збільшується. Найбільший інтерес представляє перехідний шар, який відрізняється від матеріалу основи, так і від матеріалу покриття. Він формується за рахунок дифузії матеріалів, що дає йому нові особливі властивості, такі як висока твердість, змінений мікрорельєф та підвищена зносостійкість. Покриття відіграє роль твердого мастила, особливо в період опрацювання деталі, і майже повністю видаляється, залишаючись тільки у западинах мікрорельєфу, що знижує тертя. Збільшення швидкості обертання щітки відбувається зняття отриманого фрикційного шару» [3], [12], [27].

Зараз існують дві важливі схеми проведення процесу ПГІ. Перша схема передбачає, що ворсинки гнучкого інструменту є елементами матеріалу покриття. Схема виконання операції продемонстрована на малюнку 6.

Під час першого проходу гнучкого інструменту відбувається очищення поверхні основи від забруднень та окалини, зрізання невеликих нерівностей. Додатково відкриваються ювенільні поверхні для формування містків захоплення матеріалу ворсинок та частинок елементів покриття. Схоплювання сприяють спільна пластична деформація та підвищення температури в місці обробки поверхні. Далі, при обертанні щітки, з'являється ковзання ворсинок з частинками матеріалу по поверхні. Це призводить до взаємного проникнення частинок матеріалу покриття та матеріалу, що обробляється, і формування кількох шарів перехідної ділянки у місці схоплювання.

					<i>ДРАТТАМ 24. 21195.000. ПЗ</i>	Арк.
Змн.	Арк.	№ докум.	Підпис	Дата		25

2.2 Визначення методики розрахунку параметрів у зоні контакту

Поворот коліс здійснюється завдяки дії моменту, що створює крутний момент. Момент, який водій застосовує до керма з допомогою ГУР.

На малюнку 9 зображено схему зони контакту. Під час здійснення повороту черв'як 20 обертає зубчастий сектор 21. Він повертається разом з золотником 15 та торсіоном 9. Тоді у черв'яку виникає сила $P_{\text{скр}}$, яка прагне змістити його у напрямку осі. Сила пружності торсіону утримує його від цього зміщення. Якщо сила $P_{\text{скр}}$ зменшується, черв'як не зміщується у напрямку осі, і золотник 15 залишається в нейтральному положенні. У цей момент не виникає достатнього тиску в порожнинах гідрочиліндра. Таким чином, поворот автомобіля здійснюється лише завдяки прикладеному моменту $M_{\text{вод}}$ через кермо. У цій ситуації момент опору повороту черв'яка $M_{\text{повз}}$ від сил тертя $M_{\text{тр}}$ менше, ніж момент, що повертає, від сил пружності торсіону $M_{\text{торс}}$.

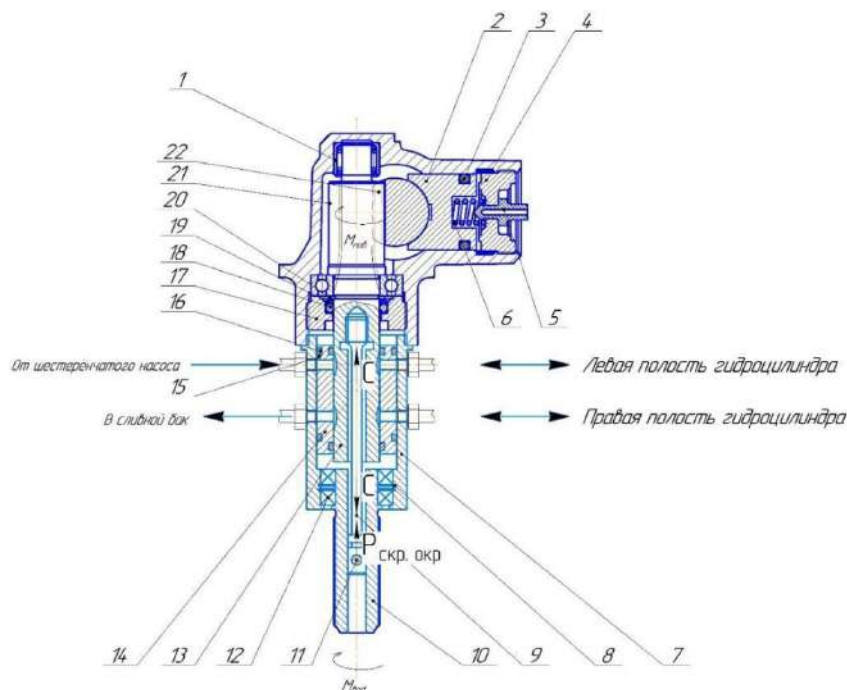


Рисунок 9 – Схема зони контакту на розподільнику під час передачі зусиль на поворот

Змн.	Арк.	№ докум.	Підпис	Дата

ДРАТТАМ 24. 21195.000. ПЗ

Арк.

29

1 – підшипник; 2 – упор; 3 – манжета; 4 – гвинт; 5 – пробка; 6 – пружина; 7 – склянка; 8 – стопорне кільце; 9 – торсіон; 10 – вал кермової колонки; 11-штифт; 12 – підшипник; 13 – Вал розподільника; 14 – розподільник; 15 – золотник; 16 – манжета; 17 – гайка; 18 – манжета; 19 – шайба; 20 – стопор; 21 – черв'як; 22 – зубчаста рейка.

У випадку, коли опір повороту є великим і момент $M_{повне}$ здатний подолати його, черв'як повертається у зубчастий сектор. Це призводить до його зміщення в напрямку осі при повороті праворуч і назад при повороті ліворуч. Потік спеціальної рідини від розподільника направляється до робочого гідроциліндра у відповідні порожнини, де під тиском рейка 22 переміщується вперед і повертає зубчастий сектор. Від цього сектора поворотний момент передається колесам через кермові тяги. Сили та переміщення, що виникають внаслідок дії механізму кермового управління з ГУР, спричиняють знос рейкового механізму.

На малюнку 10 видно, що при повороті кермового валу на хробак діють сили: $P_{ч-р.ос}$, яка намагається перемістити черв'яка з певною швидкістю в осьовому напрямку; $P_{ч-р.}$, яка тягне черв'як у напрямку від рейки; момент сил $M_{пов}$, що передається від кермового колеса через розподільник. У результаті взаємодії сил $P_{ч-р.ос}$ і $P_{ч-р.}$ з навантаженням через черв'як, рульова рейка виконує зворотно-поступальний рух.

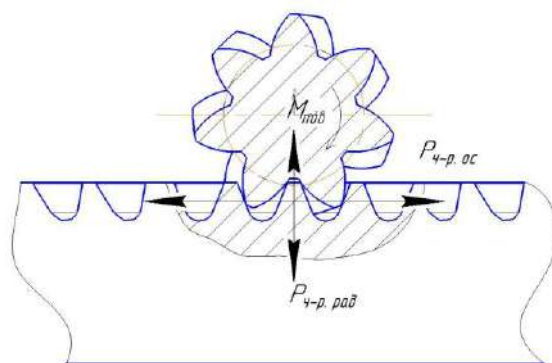


Рисунок 10 – Схема зони контакту на рульовій рейці під час передачі зусиль на поворот

									Арк.
									30
Змн.	Арк.	№ докум.	Підпис	Дата	ДРАТТАМ 24. 21195.000. ПЗ				

особливостей обраної рейки та розподілу навантажень, які викликають зношування, виникає питання про зміцнення саме бічних поверхонь зубів рульової рейки. Виходячи з кінематики процесу взаємодії ворсинки з оброблюваною поверхнею, представленої на малюнку 11, можна прийняти, що бічну поверхню зуба при обробці ПГІ можна розглядати як плоску поверхню. У цьому випадку методика розрахунку параметрів зони контакту при плакуванні бічної поверхні зубів базується на методиці розрахунку параметрів для виробів плоскої форми [15].

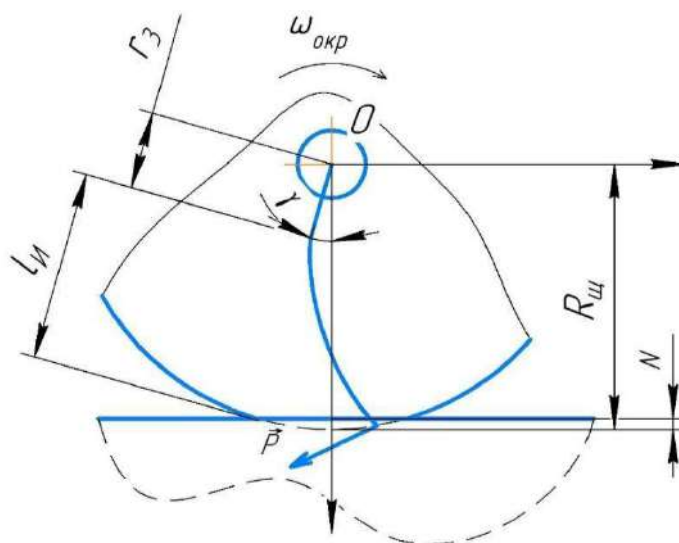


Рисунок 11 – Контакт щітки з плоскою поверхнею зуба рульової рейки

Кут, при якому ворс контактує з плоскою поверхнею, обчислюється за допомогою виразу:

$$\gamma = \arccos \frac{R_{щ} - N}{R_{щ}}, \quad (1)$$

де N - Натяг ворсу до виробу, що обробляється, мм;

$R_{щ} = l_{ш} + r_3$ - Радіус щітки, мм;

r_3 - Довжина частини ворсу, яка деформується, мм;

$l_{ш}$ - Виліт частини ворсу, що згинається, мм.

Змн.	Арк.	№ докум.	Підпис	Дата

наведених у літературі, спрямоване головним чином на виявлення загальних закономірностей ППД при великому розмаїтті методів реалізації цього виду обробки. Для забезпечення необхідної якості поверхневого шару під час використання динамічних методів розглядаються характерні параметри поверхневого шару, які залежать від режимів обробки ППД.

При здійсненні плакування за допомогою гнучкого інструменту, наклепаний шар утворюється внаслідок великої кількості дискретних ударів ворсу по оброблюваній поверхні, що випадково повторюються в часі і залишають на поверхні відбитки. Ці відбитки можуть випадково розміщуватися по всій площі обробки.

Під час вивчення процесу ППД були створені різні системи математичних розрахунків, на основі яких можна скласти попередній прогноз очікуваних характеристик зміцнення, таких як ступінь деформації та глибина зміцненого шару. Ці параметри зміцнення залежать від технологічних режимів обробки та фізико-механічних властивостей виробу, що обробляється.

У процесі обробки поверхневого шару деталі в область контакту вводяться елементи, наприклад, наконечники ворсу щітки або дріб у вигляді кульок, що формують залишкові вм'ятини. Пластично деформований простір глибиною h_s , що утворюється в результаті цього, відрізняється за властивостями від основного матеріалу.

Однією з перших залежностей для розрахунку глибини зміцнення є формула, яку отримав Хейфець С. Г.

$$h_s = \sqrt{\frac{P}{2 \cdot \sigma_T}}, \quad (2)$$

де P - Зосереджена сила деформування, прикладена в центрі площі контакту, Н;

σ_T - межа плинності матеріалу деталі при розтягуванні або стиску, Па [36].

									Арк.
									34
Змн.	Арк.	№ докум.	Підпис	Дата	ДРАТТАМ 24. 21195.000. ПЗ				

Для матеріалів, які не мають вираженого майданчика плинності на діаграмі розтягування, у якості σ_T приймають умовну межу плинності $\sigma_{0,2}$. Багато дослідників намагалися покращити, змінити та доповнити цю залежність. Автор [21], під час проведення експериментальних досліджень, довів, що розрахункові дані, отримані за використання цієї залежності, вище експериментальних на 20%.

Так, Дрозд М. С. сформулював узагальнюючу залежність, виходячи з формування моделі взаємодії сферичного індентора, який впроваджується. У рамках запропонованої моделі детально описується вплив розмірів площі взаємодії сфери з поверхнею на глибину зміцнення шару:

Для матеріалів, які не мають вираженого майданчика плинності на діаграмі розтягування, у якості σ_T приймають умовну межу плинності $\sigma_{0,2}$. Багато дослідників намагалися покращити, змінити та доповнити цю залежність. Автор [21], під час проведення експериментальних досліджень, довів, що розрахункові дані, отримані за використання цієї залежності, вище експериментальних на 20%.

Так, Дрозд М. С. сформулював узагальнюючу залежність, виходячи з формування моделі взаємодії сферичного індентора, який впроваджується. У рамках запропонованої моделі детально описується вплив розмірів площі взаємодії сфери з поверхнею на глибину зміцнення шару:

$$h_s = \sqrt{\frac{P}{2 \cdot \sigma_T} - 0,5 \left(\frac{d_B}{2}\right)^2}, \quad (3)$$

де d_B – діаметр контактного майданчика індентора з деталлю» [12].

Дослідник Тмаркін М. А. запропонував "уточнену залежність, у межах якої враховується те, що площа контакту сферичного індентора з площиною практично завжди має еліпсоподібну форму:

									Арк.
Змн.	Арк.	№ докум.	Підпис	Дата	<i>ДРАТТАМ 24. 21195.000. ПЗ</i>				35

$$h_s = 2 \cdot V_{ок} \cdot r_{отп} \cdot \sin \gamma \cdot \sqrt{\frac{\rho_{ш}}{3 \cdot k_s \cdot c \cdot \sigma_T}}, \quad (4)$$

де $V_{ок}$ - Швидкість обробки, м/с;

k_s - Коефіцієнт, що враховує вплив шорсткості деталі;

$\rho_{ш}$ - Щільність матеріалу індентора, кг/м³;

$r_{відп}$ - Радіус індентора, м;

c - Коефіцієнт несучої здатності контактної поверхні [34].

Відповідно до досліджень Кудрявцева І. В., "ступінь деформації ε виражається як відношення діаметра лунки d , яка формується в результаті впливу індентора, до діаметра сфери, що вдавлюється D " [20]:

$$\varepsilon = \frac{d}{D}, \quad (5)$$

"Грунтуючись на даних наукових джерел та практичних досліджень, які містяться в роботі, діаметр, який залишається після удару індентора, тобто деформований напівпростір лунки (вогнище деформації) d " [20], визначається за формулою:

$$d = \sqrt[4]{\frac{D \cdot P}{0,1 \cdot HD}}, \quad (6)$$

Де HD – динамічна твердість матеріалу

Для практичного використання раніше розглянутих залежностей, на підставі яких можна встановити показник глибини зміцненого шару h_s , необхідно знати показник контактної навантаження P , а також модуль пружності матеріалу T , з якого виготовлено виріб. Формула (3) вже містить у собі розкладені технологічні та геометричні умови, у тому числі силу удару, але це все одно не допоможе у раціональному контролі технологічних параметрів.

Враховуючи результати роботи [12], "при описі деформаційного зміцнення, зі збільшенням ступеня розподілу деформації відбувається безперервний приріст межі плинності матеріалу деталі за рахунок наклепу, тому потрібно прагнути максимального ступеня рівномірності деформації поверхневого шару" [12].

Таким чином, щоб здійснити процес обробки за допомогою застосування динамічного методу ПГІ, в ролі основних показників були встановлені такі характеристики - ступінь, глибина та рівномірність шару, що зміцнюється.

Посилаючись на експериментальні дослідження, можна відзначити результати авторів, які проводили зміцнення методом ПГІ штоків гідроциліндрів, виготовлених зі сталі 45. Отримана товщина покриття склала від 20 до 25 мкм. І що найголовніше можна виявити з цього дослідження, це те, що проводилося зміцнення зубчастих вінців хвильових передач, що конструктивно близько до кермових рейок, що розглядаються. Зуби вінців також, як і у обраної рульової рейки мають трапецеїдальну форму. Кращий результат при зміцненні вінців показало покриття, що містить мідь, товщина якого склала близько 1 мм. При покритті вінця покриттям мідь містить термін служби збільшився вдвічі і склав 30 годин. При нанесенні покриття мідь на штоки і плунжери гідравлічних циліндрів результати показали значні поліпшення експлуатаційних характеристик. Ресурс збільшився у 3 рази, а на зуби коліс хвильових передач торцевого виконання – у 6 разів сумарно. Було встановлено, що методом ударно-фрикційної обробки гнучким інструментом можливе одержання твердого наноструктурованого поверхневого шару. Як і було описано в методиці плакування, процес зміцнення поверхні йде з одночасним дослідженні [4] зміцнювалися циліндричні поверхні із сталі 45 різними покриттями за наступних технологічних параметрів: довжина ворсу 11 складала 75 мм, діаметр ворсу $d_v = 0,20$ мм, швидкість обертання $V_{ок} = 35$ м/с, кількість проходів n

									Арк.
									37
Змн.	Арк.	№ докум.	Підпис	Дата	ДРАТТАМ 24. 21195.000. ПЗ				

склала від 6 до 9. Товщина сформованого покриття на зразках із сталі 45 склала від 30 до 150 мкм. Також було проведено дослідження щодо закономірності формування глибини покриттів із різних матеріалів на пластини із сталі 45, а саме міді, алюмінію, латуні та олова. За технологічні параметри було обрано натяг N від 1 до 3 мм та час обробки від 1 до 3 хвилин. Результати експерименту представлені у таблиці 2.

Таблиці 2

Результати експерименту

Номер досвіду	Матеріал покриття								Технологічні параметри	
	Мідь		Алюміній		Латунь		Олово		N , мм	Час, хв
	H , мкм	σ_B , МПа	H , мкм	σ_B , МПа	H , мкм	σ_B , МПа	H , мкм	σ_B , МПа		
1	75	6,53	150	9,56	120	6,32	170	6,4	3	3
2	100	7,17	100	4,78	150	7,43	120	7,2	3	3
3	150	8,46	120	5,99	100	6,94	140	8,4	1	1
4	87	6,1	87	4,68	170	8,8	100	7,4	1	1

Позначення: H - Товщина сформованого покриття; σ_B - Адгезійна міцність покриття

Проаналізувавши результати експерименту, можна сказати, що вплив режимів обробки не є однозначним. Збільшення натягу при тривалості обробки, що дорівнює 1 хв, призводить до зростання товщини та адгезійної міцності покриття, але при подальшому збільшенні тривалості обробки збільшення натягу дає зворотний ефект.

Цікава робота [23] проводилася з порівняння критеріїв працездатності мідних покриттів, отриманих гальванічним способом та методом фрикційного плакування. Технологічні параметри плакування були наступні: натяг N від 1,2 до 4 мм, довжина ворсу l_1 дорівнювала 60 мм, діаметр ворсу d_v - 0,20 мм, швидкість обертання $V_{ок}$ становила 20–35 м/с, кількість проходів n варіювалося від 5 до 12. Товщина сформованого покриття на сталевих зразках сталі 08кп становила від 6 до 8 мкм. Автори

обробки) та конструктивні (довжина та діаметр щітки, радіус окремої ворсинки) фактори.

Проаналізувавши реальні експерименти та теоретичну основу, можна припустити, що впровадження плакування для підвищення зносостійкості пар тертя дозволить суттєво збільшити довговічність зубчастих рейок.

2.4 Математичне моделювання параметрів зони контакту процесу ПДМ

Метод фрикційного плакування гнучким інструментом виступає як комбінований метод обробки. У ході первинної стадії реалізується процес пластичного поверхневого деформування оброблюваної поверхні під впливом ударів дротяних компонентів інструменту. Після цього покриття наноситься. Відомо, що для встановлення товщини шару зміцнення необхідно знати як силу удару, так і показник упругопластичної деформації, що формується в результаті цього впливу. Також важливо розуміти, яка точно кількість ударів потрібна для певної площі за одиницю часу. Це обумовлено тим, що з формуванням шару зміцнення слід розуміти процес рівномірного розподілу його за глибині під оброблюваною поверхнею. І тому необхідно знати поверхневу щільність розподілу відбитків від ударів ворсу [16]. На сьогоднішній день існує модель, розроблена Зотовим А. В., яка дозволяє оцінити ступінь розподілу відбитків по поверхні оброблюваної деталі, що утворюється в ході удару гнучкого ворсу інструменту, враховуючи фізико-механічні властивості матеріалу. Так, ворс гнучкого інструменту на її периферійній поверхні розташований нерівномірно і при обробці відбитки на оброблюваному виробі з'являються у випадковому порядку. З цього можна застосувати теорію ймовірності. При цьому той факт, що будь-які очевидні закономірності процесу розподілу ворсу по периферійній

									Арк.
Змн.	Арк.	№ докум.	Підпис	Дата	ДРАТТАМ 24. 21195.000. ПЗ				40

поверхні інструменту відсутні, доцільно застосовувати ймовірнісний підхід під час моделювання розподілу відбитків. При цьому розподіл відбитків здійснюватиметься відповідно до закону Пуассона [17].

Закон Пуассона моделює випадкову величину, яка є числом подій, що відбулися за фіксований час, за умови, що дані події відбуваються з деякою фіксованою середньою інтенсивністю і незалежно одна від одної. Так, ймовірність появи тієї чи іншої ворсинки в будь-якій області оброблюваної поверхні не залежить від кількості ворсинок, що потрапили в будь-які області, які не перетинаються з даною. Поруч із вкрай незначною є потенційна можливість того, що у певну область потрапить дві чи більше ворсинки, особливо з урахуванням того, що попадання однієї ворсинки є можливим.

У процесі здійснення моделювання слід розрізнити ділянку ударного впливу при вході ворсу в контакт і ділянку ковзання стисло-вигнутого ворсу по поверхні виробу, що обробляється, до виходу його з контакту. Необхідно, щоб щільність ворсу гнучкого інструменту була менше або дорівнювала 0,2. Фактичний показник заповнення робочої поверхні обчислюється за такою формулою:

$$\eta_{\Phi} = \frac{n_v \cdot d_B^2}{8 \cdot B \cdot R_{\text{щ}}} \quad (7)$$

де n_v – загальна кількість тяганини на периферійній поверхні щітки;

d_B - Діаметр, мм;

$R_{\text{щ}}$ – Радіус щітки, мм;

B – Ширина щітки, мм [17].

Для того, щоб правильно оцінити можливість застосування методики плакування зубів рульової рейки, необхідно промоделювати сам процес у 3D-просторі та провести оцінку.

Кінематика процесу обробки дротяним інструментом зубів рульової рейки, зображена на рисунках 12, 13 та 14.

									Арк.	
Змн.	Арк.	№ докум.	Підпис	Дата	ДРАТТАМ 24. 21195.000. ПЗ					41



Рисунок 12 – Обробка гнучким інструментом ізометрії

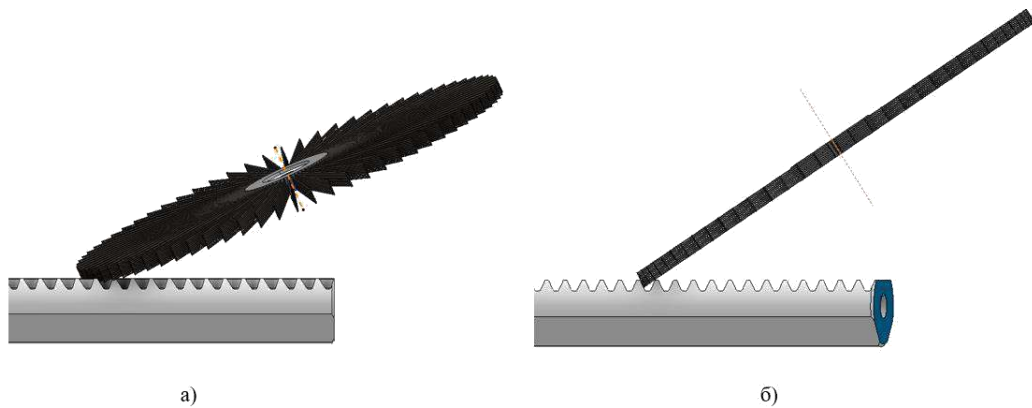


Рисунок 13 – Обробка рульової рейки гнучким інструментом: а – вид збоку; б – вид нормаллю до периферії інструменту

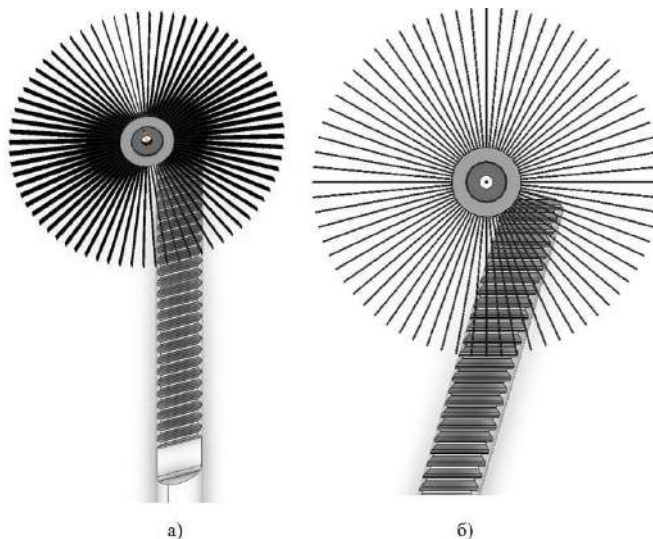


Рисунок 14 – Обробка рульової рейки гнучким інструментом: а – вид зверху; б – вид нормаллю до інструменту

					<i>ДРАТТАМ 24. 21195.000. ПЗ</i>	Арк.
Змн.	Арк.	№ докум.	Підпис	Дата		42

Тоді, "поверхнева щільність розподілу відбитків, що сформувалися від впливу ворсу на поверхні деталі, є прямо пропорційним показнику окружної швидкості обертання інструменту $V_{ок}$, коефіцієнта η_{ϕ} , а також обернено пропорційним квадрату діаметра ворсу d_B та швидкості переміщення V_s оброблюваної поверхні щодо гнучкого інструменту" [16].

$$\lambda_s = \frac{4 \cdot V_{ок} \cdot \eta_{\phi}}{\pi \cdot d_B^2 \cdot V_s} \quad (8)$$

Щоб оцінити рівень якості обробки щітками, слід визначити закономірність розподілу відбитків на поверхні, що обробляється. Проводити оцінку даного фактора слід на підставі ступеня покриття поверхні та показника її площі, яка покрита відбитками одноразово, дворазово тощо. $P(a)$ і покритої відбитками площі певну кількість разів $P(a)^*$:

$$P(a) = 1 - \sum_{k=0}^{n^*-1} \frac{a_{отп}^k}{k!} e^{-a_{отп}} ;$$

$$P(a)^* = \frac{a_{отп}^n}{n^*!} e^{-a_{отп}} , \quad (9)$$

де $\alpha_{отп} = \pi \cdot (r_{отп})^2 \cdot \lambda_s$ – середньомовірне (математичне очікування) число ударів ворсинки в площу, що дорівнює площі власного відбитка радіусом $r_{отп}$; n^*, k^* - кратність покриття.

Було доведено, що «у ході завдання удару тягарем формується відбиток еліпсоїдної форми. Однак при цьому найбільша ширина аналогічна до найбільшої глибини. Відповідно, з необхідною для математичних розрахунків точністю, можна спростити проекцію відбитка на поверхню обробки до кола радіуса $r_{відп}$, Що становить половину максимальної ширини відбитка »[12], [14].

Щоб спростити процес, вважатимемо, що «показник радіусу відбитка від удару ворсинки дорівнює розміру половини ширини проекції залишкового відбитка на поверхні, що обробляється:

$$b = 2 \cdot k_{\phi} \sqrt{\frac{d_B^2}{4} - \left(\frac{d_B}{2} - \frac{h_{\text{отп}}}{\sin \gamma}\right)^2}, \quad (10)$$

де $k_{\phi}=0,5 - 0,8$ – коефіцієнт форми ударного елемента ворсинки площині, що проходить вздовж її осі нормалі до площині обертання інструменту;

$h_{\text{отп}}$ - Глибина залишкового відбитка, мкм;

γ – кут входу, під яким ворсинка контактує з деталлю, град [16], [17].

Для розрахунку глибини залишкового відбитка скористаємося відомою формулою:

$$h_{\text{отп}} = K \cdot P_y^{n_k} \cdot \sin \gamma, \quad (11)$$

де K - Коефіцієнт, що залежить від властивостей матеріалів ворсинки і деталі;

P_y – сила удару дії ворсинки при контакті з деталлю, Н;

$n_k=0,67$ - коефіцієнт, що залежить від форми ударного елемента в площині обертання інструменту »[16].

Також необхідно врахувати, що є розподілом зон пластичної деформації. Щоб встановити показник глибини зміцненого шару, необхідно знати силу удару. Скористаємося формулою Кудрявцева [38], яка є модифікацією формули (2) і набуває наступного вигляду, з урахуванням поправного коефіцієнта та кута атаки:

$$h_s = \frac{1}{1 + 0,07 \cdot R_{\text{пр}}} \cdot \sqrt{\frac{P \cdot \sin \gamma}{2 \cdot \sigma_T}}, \quad (12)$$

де σ_T - Умовна межа плинності, Па;

$R_{\text{пр}}$ - поправочний коефіцієнт.

									Арк.
Змн.	Арк.	№ докум.	Підпис	Дата	ДРАТТАМ 24. 21195.000. ПЗ				44

Вважається, що «якщо поверхня оброблюваної деталі повністю покрита слідами від впливу деформуючих тіл, то глибина пластично деформованого шару практично дорівнює максимальній глибині деформації вогнища від одиничного відбитка» [27].

Визначимо ступінь рівномірності глибини наклепаного шару як «відношення глибини пластичної деформації в зоні перекриття деформованих об'ємів h_{μ} до максимальної глибини наклепу h_s , взятої в площині, нормальній до оброблюваної поверхні і проходить через центри сусідніх відбитків та глибини зони перекриття, виходячи з того, що форма деформованої зони є кульовим сегментом» [30]. Випадковий характер розподілу, що зростає з часом числа відбитків тяганини, зумовлює їх появу як на необробленій поверхні, так і на обробленій і характеризується відбитками, що з'явилися, з частковим або повним їх перекриттям один одного:

$$\psi_s = \frac{h_{\mu}}{h_s}; h_{\mu} = \sqrt{h_s^2 - \frac{r_m^2}{4}}, \quad (13)$$

де $r_m = r_s / (2 \cdot a_{отп})^{\frac{1}{2}}$ – найбільш ймовірна відстань між центрами двох найближчих відбитків [25].

Зона перекриття деформованих обсягів шару наклеп схематично продемонстровано малюнку 15.

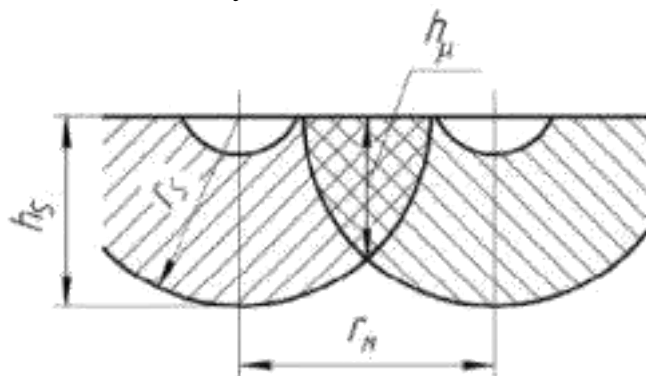


Рисунок 15 – Зона перекриття деформованих обсягів зміцненого шару

									Арк.
									45
Змн.	Арк.	№ докум.	Підпис	Дата	ДРАТТАМ 24. 21195.000. ПЗ				

Виходячи з цього, можна отримати показник ступеня рівномірності шару, який буде виражений формулою, яка залежить від рівня щільності поверхневого розподілу відбитків λ_s та глибини формування наклеп h_s :

$$\psi_s = \sqrt{1 - \frac{1}{8 \cdot \pi \cdot h_s^2 \cdot \lambda_s}} \quad (14)$$

Удар гнучкого елемента, що завдається поверхнею виробу, слід розглядати як пружний. Він визначається активною стадією обертання ворсинки щітки, наприкінці якої рух зволікання повністю зупиняється. Це означає, що «кінетична енергія ударної маси трансформується на потенційну енергію її деформації. У такому разі сила удару гнучкого елемента, що виникає на кінці зволікання в момент зіткнення з оброблюваною поверхнею, спрямована перпендикулярно до її осі і визначається за формулою:

$$P_{yi} = g^2 \cdot \frac{V_{ок}}{R_{щ} \cdot l_{II}^2} \cdot \sqrt{m \cdot [R_{щ}^3 - (R_{щ} - l_{II})^3]} \cdot E \cdot J, \quad (15)$$

де g - Коефіцієнт, що враховує динаміку обертання дротяного інструмент;

$V_{ок}$ - Окружна швидкість інструменту, м / с;

$R_{щ}$ - Радіус гнучкого інструменту, м;

l_{II} - Довжина згинається частини тяганини, м;

m - Маса тяганини, кг;

E - Модуль пружності, Па;

J - осьовий момент інерції площі поперечного перерізу, м⁴ [21].

Однак представлені залежності характерні виключно за одного проходу інструменту. Але в ході обробки виробу за допомогою дротяної щітки прохід інструменту може відбуватися багато разів, що було продемонстровано в джерелах, згаданих вище. Щоб взяти до уваги кількість проходів, застосовується формула Бернуллі:

					<i>ДРАТТАМ 24. 21195.000. ПЗ</i>	Арк.
Змн.	Арк.	№ докум.	Підпис	Дата		46

$$P_{k,n} = \frac{n!}{k! \cdot (n - k)!} \cdot p^k \cdot (1 - p)^{n-k}, \quad (16)$$

де n – кількість проходів інструменту (кількість незалежних випробувань);

k – кількість разів повторення такого ж ступеня покриття, як у першому проході при кількох проходах (при настанні події у n випробуваннях);

p – Імовірність ступеня покриття хоча б n^* разів у першому проході.

Висновки.

Аналізовано метод фрикційного плакування, що полягає у одночасному зміцненні поверхневого шару виробу та нанесенні захисного покриття. Основні принципи цього методу включають комбінацію механічного зміцнення і хімічного плакування, що забезпечує підвищену зносостійкість та корозійну стійкість оброблюваних деталей.

На основі огляду основних схем обробки виробів була розроблена схема установки для обробки кермової рейки, що має трапецієподібну форму зубів. Дослідження показали, що косозубе розташування зубів не дозволяє застосовувати стандартні методи обробки плакуванням. Схема обробки зубів кермової рейки передбачає обробку під кутом, при цьому взаємодія ворсинок з бічною поверхнею зубів відбувається аналогічно обробці плоскої поверхні.

Обґрунтування необхідності плакування бічної поверхні зубів кермової рейки проведено на основі аналізу умов роботи та розподілу сил, які викликають зношування зубів. Аналіз кінематики процесу обробки та геометричних параметрів взаємодії ворсинок щітки з оброблюваною поверхнею дозволив визначити методику обробки та відповідний математичний апарат.

На основі літературного огляду встановлено, що запропонована методика є ефективною, що було підтверджено попередніми експериментальними дослідженнями. Розглянуто основні особливості

					<i>ДРАТТАМ 24. 21195.000. ПЗ</i>	Арк.
						47
Змн.	Арк.	№ докум.	Підпис	Дата		

динамічного поверхневого зміцнення, при якому спостерігаються загальні закономірності щодо параметрів поверхневого шару. В якості основних критеріїв ефективності методики обрані такі технологічні параметри: глибина зміцненого шару та ступінь рівномірності розподілу зон пластичної деформації.

Таким чином, метод фрикційного плакування забезпечує високу якість поверхневого шару виробів за рахунок одночасного зміцнення та нанесення захисного покриття, що сприяє підвищенню їх експлуатаційних характеристик.

Визначено методику оцінки механізму деформаційних процесів під час обробки рульової рейки дротяним інструментом. Ця методика враховує технологічні режими обробки, такі як швидкість, глибина проникнення інструменту та сила притискання, а також конструктивні характеристики інструменту, зокрема, діаметр дроту, матеріал та геометрію ріжучої частини. Відповідні параметри інструменту і режими обробки визначають характер та інтенсивність деформаційних процесів, що відбуваються у поверхневому шарі матеріалу рульової рейки. Завдяки цьому підходу, можна ефективно контролювати якість обробки, забезпечуючи необхідну твердість, зносостійкість та геометричну точність обробленої поверхні.

Розширене дослідження дозволило встановити, що підвищення швидкості обробки та зменшення діаметра дроту сприяє інтенсивнішому формуванню пластичних деформацій, що позитивно впливає на зміцнення поверхневого шару. Однак, занадто висока швидкість або надмірне зусилля можуть призвести до пошкодження матеріалу та зниження якості обробки. Таким чином, оптимальні технологічні режими повинні бути підібрані для кожного конкретного випадку з урахуванням матеріалу рульової рейки та вимог до кінцевої якості обробки.

Цей підхід забезпечує комплексне розуміння механізмів деформації, дозволяючи більш точно прогнозувати результати обробки та розробляти ефективні технологічні процеси для виготовлення високоякісних рульових рейок

									Арк.
									48
Змн.	Арк.	№ докум.	Підпис	Дата	ДРАТТАМ 24. 21195.000. ПЗ				

ГЛАВА 3: РОЗРАХУНКОВО-АНАЛІТИЧНЕ ДОСЛІДЖЕННЯ ПРОЦЕСУ ПЛАКУВАННЯ РУЛЬОВОЇ РЕЙКИ

Математичне моделювання процесу плакування рульової рейки є надзвичайно складним та трудомістким завданням. Проте завдяки масовому поширенню спеціалізованого програмного забезпечення, стало можливим швидко та ефективно визначення характеристик обробки. Основна мета моделювання – визначення параметрів поверхневого шару, таких як густина розподілу відбитків та глибина зміцненого шару, які залежать від сили удару ворсу.

Розрахунок параметрів поверхневого шару. Спочатку розраховується густина розподілу відбитків на поверхні зубів рейки. Це значення визначається на основі кількості та інтенсивності ударів, що завдають ворсинки інструменту. Наступним етапом є визначення глибини зміцненого шару, яка безпосередньо залежить від сили удару кожної ворсинки. Ступінь рівномірності глибини поверхневого шару також оцінюється на основі показника щільності розподілу відбитків.

Оцінка зон пластичної деформації. Фінальним етапом є оцінка розподілу зон пластичної деформації. Це робиться для розуміння того, як відбувається зміцнення поверхневого шару під впливом обробки. Детальний аналіз кінематики процесу обробки дозволяє визначити методику та математичний апарат, необхідний для точного розрахунку цих параметрів.

Обчислення основних характеристик. Для гарантії точності розрахунків основних характеристик покриття, необхідно розглянути окремі аспекти з кількісними показниками поправочних коефіцієнтів, що залежать від матеріалу рульової рейки та застосовуваного інструменту. Наприклад, після завершення приробітку, в площині, що проходить вздовж осі зволікання по нормалі до площини обертання інструменту, формується дуга, яка виступає як проекція півсфери від удару. У таких

									Арк.
									49
Змн.	Арк.	№ докум.	Підпис	Дата	ДРАТТАМ 24. 21195.000. ПЗ				

обставинах показник точності дорівнює $k_f = 0,5$. Коефіцієнт K при наголосі з твердою сталлю низьковуглецевої зволікання дорівнює $1,59 \cdot 10^{-6} \text{ м/Н}^n$, а для пружинної тяганини $K = 6,4 \cdot 10^6 \text{ м/Н}^n$.

Поправочні коефіцієнти. При обчисленні глибини зміцненого шару (12) використовується поправочний коефіцієнт, який приймається рівним 1,07 для врахування різниці між обчисленими аналітичними та отриманими експериментальними даними. Ці коефіцієнти враховують вплив різних факторів на процес плакування та дозволяють досягти високої точності розрахунків.

Таким чином, розроблена методика дозволяє ефективно моделювати та аналізувати процес плакування рульової рейки, що забезпечує високу якість та надійність обробки.

Для полегшення та прискорення методики розрахунку основних параметрів була розроблена математична модель в середовищах MS Excel, MathCAD та КОМПАС-графік. Ця модель дозволяє автоматизувати обчислення та візуалізувати результати, що значно підвищує ефективність аналізу.

На поточному етапі розрахунку визначаються показники ступеня покриття поверхонь зубів рульової рейки на основі динаміки процесу обробки інструментом дротяного типу. Використовуючи початкові дані та відповідні формули (8–11), можна обчислити параметри покриття поверхні деталі. Одночасно з цим, побудова графіків залежності дозволяє наочно проаналізувати результати розрахунків ступеня покриття поверхні зубів рейки. Ці графіки базуються на середньоімовірній кількості ударів, що завдаються інструментом, та представлені на малюнках 16 і 17.

Модель забезпечує детальний аналіз процесу плакування, дозволяючи врахувати всі основні фактори, що впливають на якість покриття. Завдяки цьому можна досягти високої точності розрахунків та оптимізувати технологічні процеси. Користувачі можуть легко змінювати

									Арк.
									50
Змн.	Арк.	№ докум.	Підпис	Дата	ДРАТТАМ 24. 21195.000. ПЗ				

вхідні параметри і миттєво отримувати результати, що значно скорочує час на проведення розрахунків та підвищує їхню надійність.

Таким чином, розроблена математична модель є ефективним інструментом для інженерів і технологів, дозволяючи швидко і точно оцінювати параметри плакування та приймати обґрунтовані рішення щодо оптимізації технологічних процесів.



Рисунок 16 – Залежність ступенів покриття $P(a)$ від середньомовірного числа ударів ворсинки в площу, що дорівнює площі власного відбитка: 1, 2, 3, 4, 5, 6 – ступінь покриття відповідно 1, 2, 3, 4, 5, 6 разів

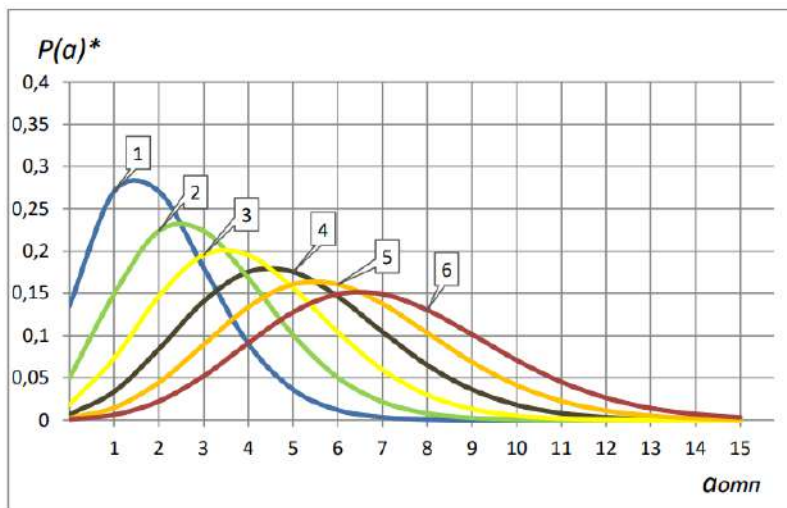


Рисунок 17– Залежність ступенів покриття $P(a)^*$ від середньомовірного числа ударів ворсинки в площу, що дорівнює площі власного відбитка: 1, 2, 3, 4, 5, 6 – ступінь покриття відповідно 1, 2, 3, 4, 5, 6 разів

Змн.	Арк.	№ докум.	Підпис	Дата

Після проведення розрахунків отримано наступні дані: при контактній силі P , рівній $0,3 \text{ Н}$, поверхнева щільність розподілу λ_s становить $101,8 \text{ мм}^{-2}$ за таких параметрів: швидкість обробки ($V_S = 150 \text{ мм/с}$, коефіцієнт $\eta_{\phi} = 0,1$, діаметр ворсу $d_B = 0,2 \text{ мм}$. Радіус відбитка $r_{\text{отп}}$ приблизно дорівнює 12 мкм , а середньомовірне число ударів $a_{\text{отп}}$ складає $4,6$. Окружна швидкість обертання щітки $V_{\text{ок}}$ повинна знаходитися в діапазоні від 35 до 45 м/с . У процесі плакування швидкість обертання гнучкого інструменту повинна залишатися постійною. Глибина зміцненого шару при куті атаки γ , рівному 15 градусів, складе 11 мкм .

Аналізуючи графіки, видно, що ступінь покриття має таку залежність: 99% площі буде покрито відбитками хоча б один раз, 86% – мінімум двічі, 55% – хоча б тричі, і 25% – хоча б чотири рази. Проте, 5% площі буде покрито лише один раз, 13% – лише двічі, 17% – лише тричі, і 18% – лише чотири рази.

Згідно з графіками залежностей, для того, щоб площа поверхні зуба рейки була повністю покрита, необхідно підвищити показник математичного очікування $a_{\text{отп}}$. Змінюючи параметри, можна отримати наступні дані: λ_s дорівнює 244 мм^{-2} , ($V_S = 45 \text{ мм/с}$; $\eta_{\phi} = 0,15$; $d_B = 0,25 \text{ мм}$). Якщо швидкість обертання інструмента залишається незмінною, то радіус відбитка становить $r_{\text{отп}}$ приблизно 12 мкм . Виходячи з цього, можна обчислити середньомовірну кількість ударів на площу зуба, яка складе $12,4$.

Ці результати дозволяють більш точно оцінити ефективність процесу плакування і роблять можливим оптимізацію параметрів обробки для досягнення максимальної якості покриття. Таким чином, розроблена математична модель не лише спрощує розрахунки, але й забезпечує високу точність та надійність отриманих даних, що є критично важливим для практичного застосування в умовах виробництва.

Для визначення глибини зміцненого шару за формулою (12) необхідно врахувати динамічний вплив дроту при постійній межі

									Арк.
Змн.	Арк.	№ докум.	Підпис	Дата	<i>ДРАТТАМ 24. 21195.000. ПЗ</i>				52

плинності матеріалу. Враховуючи цю формулу, товщина області деформації під час натягу інструмента по відношенню до оброблюваної деталі N складе 2 мм при використанні ворсу діаметром d_v , рівним 0,25 мм, та силою удару P в 0,5 Н, при куті входження ворсинок у контакт γ – 12°. У такому випадку глибина зміцненого шару становитиме 40 мкм.

Далі, використовуючи формулу (14), визначаємо ступінь рівномірності глибини наклепаного шару ψ_s , який дорівнює 0,99 при триразовому покритті площі.

Висновки та рекомендації. На основі проведеного аналітичного дослідження можна зробити висновок, що, змінюючи геометричні характеристики дротяного інструменту та технологічні режими обробки, можна обчислити необхідний показник ступеня покриття, рівень рівномірності та глибину зміцненого шару для поверхні будь-якого зуба рейки. Ці розрахунки враховують обмежуючі фактори обробки і можуть бути застосовані до всього зубчастого сектора рульової рейки.

Графічний аналіз. Після завершення обробки ступінь покриття бічної поверхні зуба рейки повинен стати рівномірним і повністю покритим слідами від впливу ворсу – відбитками. Для демонстрації взаємного впливу характеристик гнучкого інструменту та параметрів процесу обробки кермової рейки за допомогою дротяного інструменту слід розглянути графіки залежностей.

Залежність глибини зміцненого шару. Відповідно до формули (15), глибина зміцненого шару залежить від сили удару і кута входження ворсинки при незмінному параметрі межі плинності. Це дозволяє більш точно контролювати процес плакування та забезпечувати необхідну якість поверхні.

Таким чином, розроблені методики та моделі є ефективними інструментами для оптимізації процесу плакування, забезпечуючи високу якість обробки та довговічність рульової рейки.

									Арк.
Змн.	Арк.	№ докум.	Підпис	Дата	ДРАТТАМ 24. 21195.000. ПЗ				53

діаметра ворсу, натягу і швидкості обертання щітки. Це підтверджується експериментальними дослідженнями, які були проведені у підрозділі 2.3.

На рисунках 22 та 23 зображені графіки, які ілюструють залежність сили удару від зазначених параметрів за рівних умов. Вони відображають вплив різних значень цих параметрів на силу удару, що дозволяє більш точно регулювати процес обробки.

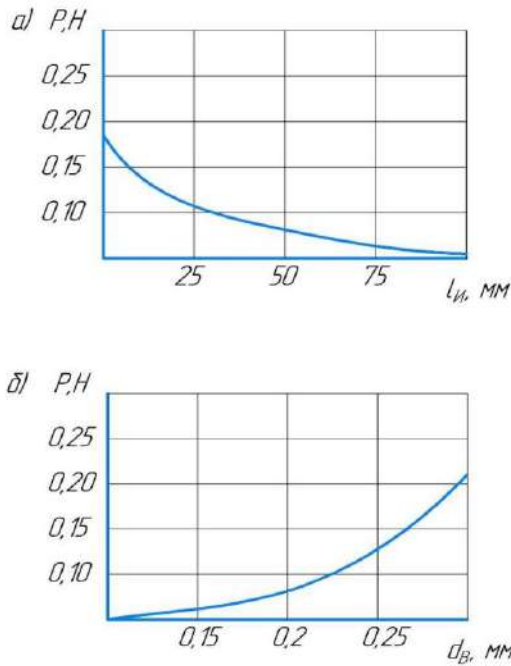


Рисунок 22 – Графіки залежності сили удару від характеристик гнучкого інструменту: а – залежність від довжини ворсу; б – залежність від діаметра ворсу.

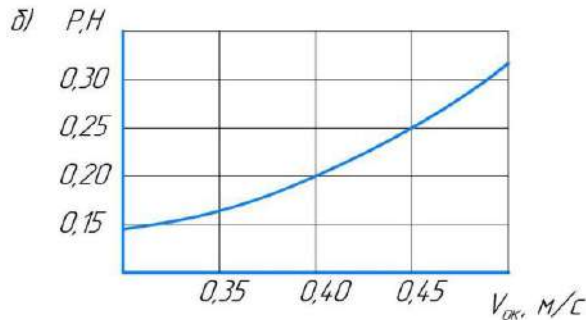
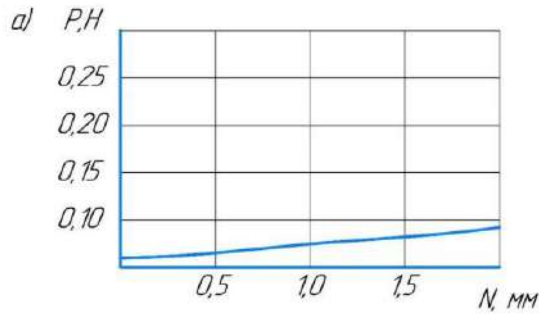


Рисунок 23 – Графіки залежності сили від технологічних параметрів обробки: а – залежність від натягу інструмента; б - залежність від швидкість обертання інструменту.

Висновки.

Було проведено аналітичні обчислення ступеня розподілу зон пластичної деформації, глибини зміцненого шару та однорідності процесу зміцнення.

В результаті досліджень було виявлено, що глибина пластично деформованого зміцненого шару та область деформації можуть бути точно визначені за допомогою аналітичних формул, які знаходять підтвердження в експериментальних дослідженнях.

Знаходження повного й однорідного покриття поверхні оброблюваного зуба відбитками від впливу дротяного інструменту свідчить про достатню рівномірність зміцненого шару по глибині. Це свідчить про ефективність та точність процесу обробки, що має важливе значення для забезпечення якості та довговічності оброблюваного виробу.

										Арк.
Змн.	Арк.	№ докум.	Підпис	Дата	ДРАТТАМ 24. 21195.000. ПЗ					57

РОЗДІЛ 4 ПРИСВЯЧЕНО ОПТИМІЗАЦІЇ ПРОЦЕСУ ПЛАКУВАННЯ РУЛЬОВОЇ РЕЙКИ.

4.1 Методика вибору оптимальних режимів та параметрів обробки гнучким інструментом

Для досягнення ефективності та максимальної продуктивності в плакуванні рульової рейки, було розроблено спеціальний алгоритм, який дозволяє систематизувати вибір оптимальних технологічних режимів.

Алгоритм включає кілька ключових етапів. По-перше, на основі аналітичних обчислень відбувається відбір конструктивних параметрів дротяного інструменту. Далі відбувається вибір можливих значень технологічних параметрів для процесу плакування. На завершальному етапі проводяться обчислення та оцінка деформаційних параметрів плакування, а також аналіз характеристик надійності та довговічності гнучкого інструменту. У разі виявлення несуперечливих результатів проводяться коригування початкових даних і повторний розрахунок параметрів процесу.

Цей алгоритм дозволяє оперативно вибрати необхідні технологічні режими для плакування рульової рейки з врахуванням необхідних експлуатаційних характеристик. Важливо враховувати, що неправильний вибір режиму обробки може призвести до передчасного зношування інструменту і низької якості обробленої поверхні. Також нераціональний режим може призвести до зайвого витрати ресурсів. Наприклад, в разі втомного руйнування ворсу вартість ремонту інструменту може становити від 25% до 50% від вартості обробки одного виробу [2].

Розрахунки максимального напруження, що виникає в гнучких компонентах під час деформаційного процесу, проводяться з використанням теорії гнучких пружних стрижнів за відповідною формулою.

									Арк.
Змн.	Арк.	№ докум.	Підпис	Дата	ДРАТТАМ 24. 21195.000. ПЗ				58

$$\sigma_{\max i} = \frac{\omega_i}{\beta_i} \cdot P_{\max i} \cdot l_{\text{и}} \frac{d_B}{2J}, \quad (17)$$

де ω_i - Коефіцієнт моменту подоби;
 β_i - силовий коефіцієнт подібності;
 $P_{\max i}$ - Максимальна контактна сила, Н;
 $l_{\text{и}}$ - Довжина згинається частини, мм;
 d_B - Діаметр ворсу, мм;
 J - момент осьової інерції, мм⁴. [16].

Згідно з дослідженнями та науковими роботами при нанесенні покриття за допомогою гнучкого інструменту найчастіше застосовуються універсальні та прості щітки дискового типу, які виготовлені з дроту різних видів сталі, включаючи: низьковуглецеву (ДСТУ 3282-74), леговану пружинну (ДСТУ 14963-78), вуглецеву інструментальну У7А, У8А (ДСТУ 938-75), металокард (ДСТУ 14311-85), а також пасма канатів із сталі за ДСТУ 7372-79 [8], [14], [27].

Щоб правильно вибрати матеріал ворсу, слід брати до уваги показник максимальної напруги, що формується у ворсі, і при цьому раціонально підібрати саму щітку у співвідношенні «ціна – якість – експлуатаційні властивості». Крім цього, можна спробувати внести необхідні зміни в процес обробки, щоб ворсинки щітки передчасно не зношувалися. Оцінка втомної міцності ворсу обчислюється, згідно з наступною умовою:

$$\sigma_{\max} \leq [\sigma_B], \quad (18)$$

де $[\sigma_B]$ – межа витривалості ворсу щітки.

Враховуючи відомості про діаметр дроту, силу удару ворсу та інші параметри процесу обробки, розумно використовувати гнучкий інструмент, який виготовлений із сталевого дроту відповідного класу - 1,

									Арк.	
Змн.	Арк.	№ докум.	Підпис	Дата	ДРАТТАМ 24. 21195.000. ПЗ					59

2, 2А або 3 [29]. Однак, якщо ми обираємо інструмент з міцністю, що відповідає заданим показникам, він може швидко витратитися через високий рівень втомного зношування. Використання дроту з такого матеріалу може бути неефективним через низький ресурс, що призведе до негативного впливу на економічний показник процесу плакування.

Обробка поверхні рульової рейки відбувається з урахуванням характеристик матеріалу рейки та покриття, які повинні відповідати встановленим експлуатаційним вимогам. В умовах постійного тертя, механічні та структурні характеристики покриття мають важливе значення для підвищення його стійкості до зносу. Тому, вибір матеріалу покриття та його властивості визначають ефективність та тривалість експлуатації рульової рейки.

Щоб нанести покриття на поверхню деталі, можна використовувати електро-механічну плакувальну (ЕМП) технологію у формі брусків. Цей процес може включати контакт гнучкого інструменту з різними фрикційними матеріалами, що дозволяє отримати складні та однорідні покриття.

Вибір параметрів формування матеріалу на поверхневому шарі деталей є результатом зіставлення технічної та економічної доцільності, основних вимог до вузла тертя, технічних та конструктивних обмежень, сумісності зі змащувальним матеріалом, а також можливості забезпечення стабільного значення коефіцієнта тертя у рухомому з'єднанні [10]. Важливими факторами, що впливають на вибір покриття, є товщина захисного шару та його рівномірний розподіл по оброблюваному виробі.

Мідь стала одним із найбільш поширених матеріалів основи покриття для роботи в маслі. При нанесенні мідного покриття коефіцієнт тертя у контакті щітки з деталлю знаходиться у діапазоні від 0,6 до 0,74 [18]. Проте, висока температура на поверхні тертя може призвести до схоплювання матеріалів на основі міді (бронзи), які мають низьку температуру плавлення, що в свою чергу може призвести до виривання

									Арк.
Змн.	Арк.	№ докум.	Підпис	Дата	ДРАТТАМ 24. 21195.000. ПЗ				60

частинок матеріалу. Тому використання мідних сплавів і аналогічних матеріалів дозволяється лише у вузлах, де температурний режим на поверхнях тертя не перевищує 300 градусів Цельсія [24]. Наприклад, для обробки механізму рейки рекомендується використовувати мідно-цинковий сплав (латунь) Л63. Цей двокомпонентний сплав містить мідь на 65%, цинк на 37,5% та домішки до 0,5%. Покриття з латуні мають досить хороші механічні та експлуатаційні характеристики, підвищену антикорозійність порівняно з чистою міддю, але меншу теплопровідність та електропровідність [24].

Отже, у випадку фрикційних пар тертя, які функціонують у середовищі рідинного мастила, особливо мінеральних (або синтетичних) олій, рекомендується переважно застосовувати матеріали на основі мідних сплавів. Серед важливих функцій додаткового технічного обладнання та оснащення - це процес закріплення та фіксації виробів, які обробляються, у зручному для взаємодії з ними положенні, а також можливість переміщення деталей під час нанесення покриття. Для досягнення цих цілей можна використовувати універсальне або спеціалізоване обладнання, таке як маніпулятори, призми, обертачі, лещата, затискачі, кантувачі та роликові стенди.

Підбір обладнання потребує уважного аналізу технічного оснащення підприємства. Розгляд варіантів установки та пристосування слід проводити враховуючи наявне металеве обладнання та технічні можливості. Наприклад, при наявності кутової шліфувальної машини можна використовувати металеві щітки з ворсинками, що складаються з матеріалу покриття [3]. Однак, цей метод може не забезпечити точних параметрів обробки. Основні методи плакування спрямовані на обробку плоских або циліндричних поверхонь, і не дозволяють обробку під кутом. Тому для вирішення цієї проблеми потрібне спеціальне обладнання.

Для стандартизації процесу плакування рекомендується використовувати широко поширене обладнання, таке як вертикально-

					<i>ДРАТТАМ 24. 21195.000. ПЗ</i>	Арк.
						61
Змн.	Арк.	№ докум.	Підпис	Дата		

фрезерний, радіально-свердлильний або універсально-шліфувальний верстат з можливістю кутової обробки. Приклад такого універсального обладнання зображений на малюнку 25.

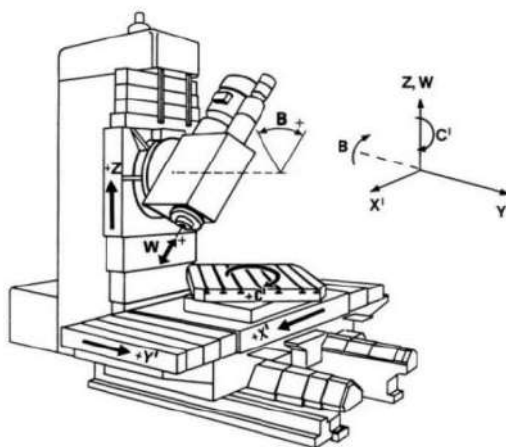


Рисунок 25 – Фрезерний верстат з можливістю кутової обробки

Необхідний кут обробки кермової рейки показаний малюнку 26.

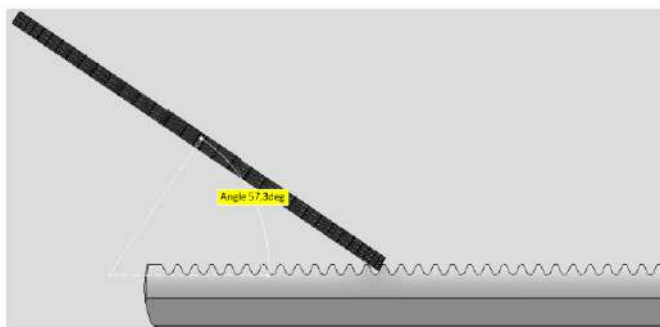


Рисунок 26 – Кут обробки зубів на прикладі кермової рейки lada granta

Під час обробки рульових реек стійка розташовується на столі таким чином, щоб бокова поверхня зубів була перпендикулярною до гнучкого інструменту, тоді як вісь шпинделя виробу розташована перпендикулярно оброблюваній поверхні. Сама рейка закріплена у жорсткому оснащенні. Регулювання кута обробки зубчастих рейок виконується або шляхом обертання столу, або за допомогою обертання оснастки, яка їх фіксує. Пересування рейки відносно інструмента

Змн.	Арк.	№ докум.	Підпис	Дата

здійснюється вздовж станини залежно від технічних можливостей шпинделя верстата.

Коли використовується гнучкий інструмент з покриттям, проблема з підведенням електромеханічних покриттів може бути вирішена, оскільки покриття формується з ворсинок щітки. Однак варто враховувати, що такі щітки мають свої недоліки. Тому виникає питання про використання змінних металевих щіток під час такої обробки. Це дозволить пристосуватися до перспективних тенденцій щодо стандартизації та уніфікації методів обробки у сучасному машинобудуванні.

Для здійснення цього процесу було розроблено спеціальне обладнання, зразок якого можна побачити на малюнку 27.

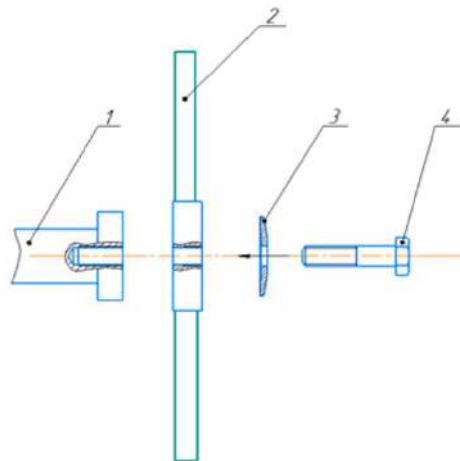


Рисунок 27 – Ескіз оснастки для змінної щітки 1 - спецпристосування; 2 – гнучкий інструмент; 3 – шайба; 4 – кріпильний елемент.

Тут металева щітка 2 прикріплюється за допомогою гвинтового з'єднання. Кріпильний елемент 4 може мати два різних виконання: "шпилька-гайка" або затяжний болт. Для збільшення площі контакту з'єднання, запобігання зсуву елементів і забезпечення надійної фіксації вводиться додаткова шайба 3, яка індивідуально підбирається під металеву щітку певного діаметру. Оснащення 1 закріплюється в цанговий патрон і встановлюється в шпиндель верстата.

									Арк.	
Змн.	Арк.	№ докум.	Підпис	Дата	ДРАТТАМ 24. 21195.000. ПЗ					63

Це обладнання не лише впливає на економічні аспекти процесу плакування, але й забезпечує можливість використовувати методику на найбільш поширеному обладнанні.

Варто відзначити, що у випадку з ворсинками-покриттями проблеми з методикою виникають рідше, але через це можуть виникнути складнощі у дотриманні технологічних параметрів обробки через інтенсивне зношування ворсинок, що може призвести до погіршення якості обробки. Тому необхідно дослідити конструкцію спеціального пристрою, який вирішить проблему подачі ЕМП за запропонованою методикою обробки під кутом.

Проблему подачі ЕМП до периферії робочого інструменту вдалося вирішити шляхом розробки спеціальної оснастки, яку представлено на малюнку 28.

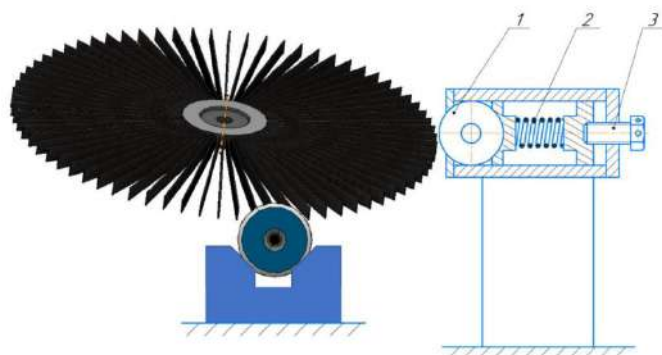


Рисунок 28 – Ескіз оснастки підведення ЕМП 1 – ЕМП; 2 – пружина; 3 – регулювальний болт.

Спеціальне обладнання було розроблене на основі патенту. Однак сам пристрій, зазначений у патенті, не можна використовувати, оскільки він призначений для обробки циліндричних виробів. Конструкція цього спеціального обладнання не є пристроєм плакування з вбудованим джерелом живлення та редуктором; замість цього, вона представляє собою пристосування, яке підводиться до інструменту. Тут еластомерно-металевий покриття (ЕМП) у формі бруска 1 зажимається з

використанням пружини 2, яка діє на розтяг, та фіксується за допомогою сил тертя. Притиск забезпечується регульованим болтом 3.

Отже, після вивчення всіх підготовчих операцій перед фрикційним плакуванням та опису особливостей вибору технічного обладнання, можна переходити до складання технологічного процесу обробки рульової рейки методом фрикційного плакування.

Розглянемо технологічний маршрут обробки бічної поверхні зуба рульової рейки. Технологічні процеси розробляються відповідно до стандартів ЕСТД та ЕСКД, де враховуються різноманітні матеріали, коментарі та обмеження, що містяться у керівній технічній документації підприємств. При проектуванні технологічного процесу обробки бічної поверхні зуба рульової рейки інтегральних кермових механізмів необхідно враховувати наступні особливості:

- Детальне вивчення можливих несправностей та передбачення програми відновлення цих деталей важливо для забезпечення ефективності та надійності рейки. Необхідно враховувати можливі дефекти деталей у кермовому інтегральному механізмі та їх вплив на показники робочої здатності рейки.

- Під час розробки технологічного процесу слід враховувати потенціал ремонтних організацій та їх рівень матеріального та технічного оснащення.

- Конструкція кермового механізму може відрізнитися залежно від виробника кермової рейки, що може впливати на технологічний процес, хоча зміни будуть незначними.

- Варто враховувати, що обробка може мати свої особливості залежно від типу та моделі верстата, наприклад, використання поздовжньої подачі інструменту до кермової рейки, що може здійснюватися переміщенням столу або шпинделя.

									Арк.
Змн.	Арк.	№ докум.	Підпис	Дата	ДРАТТАМ 24. 21195.000. ПЗ				65

Таблиця 3 надає детальний огляд маршруту технологічного процесу плакування гнучким інструментом зубчастого сектора рульових рейок від моменту аналізу до перевірки працездатності.

Таблиця 3

Технологічний маршрут плакування рульової рейки

Номер операції	Найменування операції	Опис операції
005	Слюсарна	Розібрати інтегральний кермовий механізм згідно з інструкціями виробника.
010	Мийна	Промити деталі кермового механізму ГУР у мийній ванні з очисним розчином. Промити рульову рейку у мийній ванні з очисним розчином або хімічним способом відповідно до ДСТУ 9.047.
015	Оцінно-дефектувальна	Оцінити технічний стан кермової рейки відповідно до вимог. Якщо спостерігаються сколи, злами, явне зношування на зубчастому секторі, подальші заходи щодо відновлення не рекомендовані – рейка підлягає утилізації. При задовільному стані кермової рейки застосувати метод ППІ.
020	Підготовча	Підготувати гнучкий інструмент для обробки. Підготувати елемент покриття для обробки. Підготувати обладнання та оснащення до обробки. Підготовку виконувати відповідно до рекомендацій, викладених у підрозділі 4.1.
025	Плакування гнучким інструментом	Встановити кермову рейку за запропонованою схемою. Нанести на робочі поверхні зубчастого сектора покриття за технологічними рекомендаціями, описаними у розділі 3.
030	Контрольна	Перевірити якість поверхневого шару.
035	Слюсарна	Зібрати кермовий механізм ГУР.
040	Контрольна	Перевірити працездатність рульового механізму на стенді. Перевірити люфт кермового колеса.

Змн.	Арк.	№ докум.	Підпис	Дата

ДРАТТАМ 24. 21195.000. ПЗ

Арк.

66

Процес формування покриттів відбувається у декілька етапів, ретельно спланованих для забезпечення оптимального результату. Початковим етапом є установка гнучкого інструменту у вигляді циліндричної щітки на спеціальне оправлення, яке потім закріплюється за допомогою кріпильного елемента. Оправлення встановлюється в цанговий патрон, який, у свою чергу, закріплюється в шпинделі верстата. Рульова рейка затискується в спеціальному механізмі та фіксується на станині верстата.

Для досягнення необхідного кута обробки бічної поверхні зубів рульової рейки використовується поворотний супорт шпинделя верстата з координатами ZX. Під час обертання дротового інструменту з певною кутовою швидкістю та підведення його до фіксуючого пристрою, що поздовжньо переміщається, забезпечується натяг рульової рейки в межах від 1 до 2 мм.

Брусок ЕМП Л63 кріпиться у спеціально розробленому оснащенні, притиск якого регулюється за допомогою регулювального елемента. Потім до периферії інструменту підводиться спецпристрій із закріпленим на ньому ЕМП. Протягом певного часу обробки при обертанні щітки створюється потрібна температура контакту інструменту з бічною поверхнею зуба рульової рейки, що забезпечує міцне зчеплення покриття зі сталлю 50, матеріалом рейки.

Цей процес дозволяє не лише досягти високої якості обробки, але й забезпечує уніфікацію обладнання, що може використовуватися в широкому спектрі випадків. Варто зазначити, що плакування може бути виконано безпосередньо після виготовлення кермової рейки на заводі-виробнику з невеликими змінами у технологічному процесі.

У таблиці 4 наведений перелік мінімально необхідного оснащення для процесу ПДМ, що відповідає вимогам технологічного процесу та стандартам пожежної безпеки та охорони праці. Більшість з цих засобів інструменту широко використовується на автотранспортних підприємствах, де вони стали невід'ємною частиною технологічних процесів. Цей перелік стане в пригоді для підприємств у визначенні необхідного обладнання та інструментів.

При вивченні цього списку можна врахувати різні аспекти, що відповідають потребам та можливостям підприємства. Такі речі, як

									Арк.
									67
Змн.	Арк.	№ докум.	Підпис	Дата	<i>ДРАТТАМ 24. 21195.000. ПЗ</i>				

високоякісні інструменти, ефективні пристрої безпеки та захисні засоби, є ключовими у забезпеченні безпеки та ефективності виробничих процесів. При цьому необхідно враховувати можливості бюджету підприємства та здатність кадрового складу пристосуватися до нового обладнання.

Цей перелік може слугувати основою для розробки стратегії поступового впровадження необхідного обладнання та інструментів на підприємстві, що дозволить покращити ефективність виробничих процесів та забезпечити високий рівень безпеки працівників.

Таблиця 4

Відомість технологічного оснащення

Найменування	Тип та модель	Кількість
Стенд для перевірки та регулювання кутів установки коліс	КДС	1
Лінійка для перевірки сходження коліс автомобілів	ПСК-ЛГ	1
Установка для перевірки гідросистем рульового керування	К-465М	1
Манометр	МТА-2	1
Динамометр-люфтомір	К-524	1
Мийка ручна	AM1000 PM	1
Вертикально-фрезерний верстат	FV401	1
Цанговий патрон	SOVIS ER15	1
Комплект торцевих ключів	1.46.05.89	1
Металева циліндрична щітка	Lessman	1
Набір викруток	13С-550	1
Пристрій для змінних щіток у зборі	Нове	1
Пристосування підведення ЕМП	Нове	1
Пасатижі	-	1
Брусок елемент покриття	Л63	1
Комплект гайкових ключів	І-153	1
Мікротвердомір	ПМТ-3	1
Верстак	В 1	1
Настінна шафа для приладів	-	1
Вогнегасник	ОХЛ-10	1
Ящик з піском	-	1
Скриня для відходів	0.1-0.3-000-01	1

4.2 Висновок.

Після проведення аналітичного розрахунку технологічних параметрів виникло питання про підготовку до виконання методики ПГІ для кермової рейки. В цьому контексті були розглянуті аспекти вибору оптимальних режимів обробки, матеріалу для гнучкого інструменту, елементів матеріалу покриття і необхідного обладнання.

Створено алгоритм, який, базуючись на розрахунково-аналітичному дослідженні, дозволяє ефективно підібрати необхідні технологічні режими процесу ПГІ для формування поверхневого шару з потрібними характеристиками.

Проведено аналіз матеріалу для гнучкого інструменту, з урахуванням максимальної напруги, що виникає у ворсі, для вибору матеріалу ворсу відповідного класу.

Також розглянуто питання вибору елемента матеріалу покриття, і зроблено висновок, що для фрикційних пар, що працюють з рідинним мастилом, оптимальним варіантом є матеріали на основі мідних сплавів.

У зв'язку з тим, що обробка рульової рейки відбувається під кутом, запропоновано уніфіковану методику плакування, що дозволить застосувати цей метод на широкому спектрі обладнання. Для цього розроблено спеціальне оснащення для застосування змінних щіток та підведення ЕМП до гнучкого інструменту.

Після розгляду підготовчих питань розроблено технологічний маршрут обробки кермової рейки методом фрикційного плакування гнучким інструментом.

Також наведено необхідний перелік оснастки для проведення плакування рульової рейки.

Пріоритетним напрямком дослідження вибрано питання підвищення довговічності рульової рейки в області з'єднання черв'яка розподільника і зубчастого сектора. Для досягнення цієї мети пропонується використання методу поверхневої обробки, а саме -

									Арк.
									69
Змн.	Арк.	№ докум.	Підпис	Дата	ДРАТТАМ 24. 21195.000. ПЗ				

фрикційного плакування гнучким інструментом зубчастого сектора рульової рейки.

Проведено літературний огляд з метою визначення причин несправностей рульової рейки та методів їх усунення. Оскільки існуючі методи відновлення зубів рульової рейки обмежені, вироблення альтернативного підходу є важливим завданням.

Аналіз кінематики обробки зубів кермової рейки гнучким інструментом показав, що фрикційне плакування можливе. У процесі плакування здійснюється обробка плоскої поверхні трапецієподібних зубів.

На основі математичної моделі та аналітичних розрахунків параметрів обробки розроблено технологічний маршрут плакування бічної поверхні зуба рульової рейки.

Розроблено методику стандартизації процесу плакування рульової рейки, що дозволить проводити технологічний процес на різноманітному обладнанні. Це було досягнуто завдяки розробці двох спеціальних пристроїв, які спрямовані на ефективне використання гнучких змінних інструментів та підведення елементів матеріалу покриття до робочої поверхні щітки.

Підготовлений маршрут був детально описаний та розглянутий на прикладі рульової рейки lada granta.

Загальні цілі магістерської дисертації щодо підвищення експлуатаційної довговічності рульової рейки методом фрикційного плакування успішно досягнуті.

					<i>ДРАТТАМ 24. 21195.000. ПЗ</i>	Арк.
						70
Змн.	Арк.	№ докум.	Підпис	Дата		

14. Lu, J. (Ed.). Laser Shock Processing of FCC Metals: Mechanical Properties and Microstructural Strengthening Mechanism. CRC Press, 2003. 144 p.

15. Brostow, W., Damarla, G., Deborde, J. L., Jaklewicz, M., Olszynski, P. Tribology of Polymeric Nanocomposites: Friction and Wear of Bulk Materials and Coatings. Elsevier, 2007. 784 p.

16. Tschätsch, H. Metal Forming Practise: Processes - Machines - Tools. Springer, 2006. 419 p.

17. Rudkins, R. H. Shot Peening Theory and Application. Springer, 1990. 291 p.

18. Bushlya, V., Zhou, J., Lenrick, F., Stahl, J. E. Surface Integrity of Hard Turned Steel with Application of Hardness Gradients. Springer, 2014. 251 p.

19. Yao, Z., Chen, X., Wu, D., Zou, Y. Surface Deformation-Induced Hardening: Principles, Applications, and Recent Advances. Springer, 2020. 314 p.

20. Blunt, L., Jiang, X. Advanced Techniques for Assessment Surface Topography: Development of a Basis for 3D Surface Texture Standards “SURFSTAND”. Kogan Page Science, 2003. 358 p.

21. Johnson, K. L. Contact Mechanics. Cambridge University Press, 1987. 452 p.

22. Barber, J. R. Elasticity and Contact Mechanics. Springer, 2018. 606 p.

23. Hills, D. A., Nowell, D. Mechanics of Elastic Contacts. Butterworth-Heinemann, 1994. 300 p.

24. Popov, V. L. Contact Mechanics and Friction: Physical Principles and Applications. Springer, 2010. 362 p.

25. Lacey, R., Lacey, S. Elastic and Plastic Contact of Rough Surfaces: Theoretical, Experimental, and Numerical Analysis. Elsevier, 2015. 416 p.

					<i>ДРАТТАМ 24. 21195.000. ПЗ</i>	Арк.
Змн.	Арк.	№ докум.	Підпис	Дата		72

26. Ciavarella, M., Demelio, G., Barber, J. R. Elastic-Plastic Contact of the Rough Surfaces. Springer, 2000. 240 p.
27. Maugis, D. Contact, Adhesion and Rupture of Elastic Solids. Springer, 2000. 420 p.
28. Goryacheva, I. G. Contact Mechanics in Tribology. Springer, 1998. 390 p.
29. Stupkiewicz, S. Mechanics of Contact and Interfaces. Springer, 2010. 259 p.
30. Johnson, K. L., Greenwood, J. A. Anelastic Contact of Rough Surfaces. Springer, 2001. 380 p.
31. Mattox, D. M. The Foundations of Vacuum Coating Technology. Springer, 2003. 949 p.
32. Davis, J. R. (Ed.). Surface Engineering for Corrosion and Wear Resistance. ASM International, 2001. 296 p.
33. Bunshah, R. F. (Ed.). Handbook of Deposition Technologies for Films and Coatings: Science, Applications and Technology. 2nd ed. Noyes Publications, 1994. 887 p.
34. Gottstein, G. Physical Foundations of Materials Science. Springer, 2004. 502 p.
35. Sudheer, N., Harsha, S. P., Jayathirtha Rao, Y. Surface Modification Technologies: An Engineer's Guide. CRC Press, 2020. 362 p.
36. Budinski, K. G. Surface Engineering for Wear Resistance. Prentice Hall, 1992. 240 p.
37. Schwarzkopf, P., Kiefer, R. Refractory Hard Metals: Borides, Carbides, Nitrides, and Silicides. Macmillan, 1953. 580 p.
38. Shetty, D. K., Wright, I. G. (Eds.). Surface Modification and Alloying. ASM International, 1981. 232 p.
39. Hihara, L. H., Adler, R. P., Latanision, R. M. (Eds.). Environmental Degradation of Advanced and Traditional Engineering Materials. CRC Press, 2014. 726 p.

					<i>ДРАТТАМ 24. 21195.000. ПЗ</i>	Арк.
Змн.	Арк.	№ докум.	Підпис	Дата		73

40. Rickerby, D. S., Matthews, A. Advanced Surface Coatings: A Handbook of Surface Engineering. Springer, 1991. 390 p
41. ASM Handbook, Volume 7: Powder Metal Technologies and Applications. ASM International, 1998. 608 p.
42. Chawla, K. K. Metal Matrix Composites. Springer, 2013. 548 p
43. ASM Handbook, Volume 5: Surface Engineering. ASM International, 1994. 944 p.
44. Davis, J. R. (Ed.). Surface Engineering for Corrosion and Wear Resistance. ASM International, 2001. 296 p
45. Ghosh, A. Advanced Thermally Assisted Surface Engineering Processes. Springer, 2014. 394 p.
46. Dutta Majumdar, J., Gnanamoorthy, J. B. Surface Modification of Magnesium and its Alloys for Biomedical Applications: Volume II: Modification and Coating Techniques. Springer, 2015. 218 p
47. Suryanarayana, C., Norton, M. G. X-Ray Diffraction: A Practical Approach. Springer, 1998. 260 p
48. Liu, S., Li, X., Zhang, G., Zhang, J. Surface Modification of Metals by Ion Beams, Sputtering, and Laser-Induced Plasma. Elsevier, 2012. 544 p
49. Aghajani, H. Surface Modification of Biopolymers. Springer, 2015. 307 p
50. Stott, F. H. Physical Metallurgy and Advanced Materials. Butterworth-Heinemann, 2019. 628 p.

ДОДАТКИ

					<i>ДРАТТАМ 24. 21195.000. ПЗ</i>	Арк.
<i>Змн.</i>	<i>Арк.</i>	<i>№ докум.</i>	<i>Підпис</i>	<i>Дата</i>		75